

# **İLIMAN İKLİM KOŞULLARINDA SİLİKAT ANATAŞINDAN OLUŞAN TOPRAKLARIN YIKANMA VE BİRİKME HORİZONLARININ ANALİTİK OLARAK İNCELENMESİ<sup>1</sup>**

Doç. Dr. M. Doğan KANTARCI

## **Kısa Özeti**

Bu çalışma ile Kuzey Trakya Dağlık Orman Yetişme Bölgesinde ince kristalli sistlerden oluşmuş toprakların bulunduğu genetik gelişim safhaları incelenmiştir. Bölgede bulunan genetik toprak tiplerini temsil edebilecek 7 tipik toprak örnek olarak alınmıştır. Bu toprakların genetik toprak sistemi içindeki yerlerinin saptanması için özellikle kil bölümünün, demir fraksiyonlarının toprak kesitindeki yıkanma - taşınma ve birikme durumları araştırılmıştır. Toprakların hükümlendirilebilmesi için ayrıca morfolojik ve diğer analitik toprak özellikleri de incelemiştir. Topraktaki demir bileşiklerinin fraksiyonlaması yolu ile araştırma bölgesinde Esmer Orman Toprağı, Solgun Esmer Orman Toprağı, Boz Esmer Orman Toprağı, Podsolumsü Boz Esmer Orman Toprağı ve Podsol Esmer Orman Toprağı tiplerinin tanımlanmasına mümkün olduğu sonucuna varılmıştır.

## **I. GİRİŞ**

Toprağın oluşumu ve gelişiminin incelenmesi, özelliklerinin saptanması ve nihayet toprakların sınıflandırılması Toprak İlminin başlıca konularından biridir. Gerek coğrafi ölçüler içinde, gerekse yerel fakat genetik toprak araştırmalarında arazi incelemelerinin yanısıra laboratuvara da toprakların incelenmesi gerekmektedir. Toprakların bulunduğu genetik gelişim safhası laboratuvara muhtelif metodlarla incelenmektedir. Burada bir yandan örnek olarak seçilen topraklar incelenirken, bir yandan da emin sonuçlar veren bir metodlar sisteminden bahsedilmiştir.

Toprak sınıflandırmaları incelendiğinde birbirinden çok farklı genetik toprak tiplerinin bulunduğu görülmektedir (KANTARCI, M. D. 1972). Toprak tiplerinde görülen, bu farklılar toprak oluşumunda etkili olan faktörlerin (anatas, iklim, yeryüzü şekli, zaman ve canlılar gibi) bölgesel olarak değişimlerine ve etkime ağırlıklarına bağlı kalmaktadır. Toprak tiplerinde görülen bu çeşit farklılara göre inceleme

<sup>1</sup> İstanbul Üniversitesi Orman Fakültesi Toprak İlimi ve Ekoloji Kürsüsü, Büyükdere - İstanbul.

Toprakların analizi 1973 - 74 yılları arasında Federal Almanya'da Münih Üniversitesi'nden Orman Fakültesinde Toprak İlimi Enstitüsünde yapılmıştır. Enstitüsünün laboratuvarlarında çalışma olanağı verdiği için saygınlığını Prof. Dr. K. E. Rehfuss'a ve çalışmayı mali yönden destekleyen Alexander von Humboldt Vakfına teşekkür ederim.

metodları da farklı olabilmektedir. Burada konu edilen metod sistemi yurdumuzda rastladığımız zonal veya diğer deyimle klimatik topraklar için uygulanmak durumundadır. Metod sisteminin yurdumuzda bulunan diğer toprak tipleri için vereceği sonuçları henüz araştırmaktayız.

Metod sisteminin uygulamasına örnek olmak üzere Kuzey Trakya Dağlık Orman Yetişme Bölgesinde, silikat anataşından ilman iklim etkisi altında oluşmuş ve bir genetik toprak gelişim sırasında yer alan Esmer Orman Toprağı, Solgun - Esmer Orman Toprağı, Boz - Esmer Toprağı tipleri seçilmişlerdir.

Bu genetik gelişim sırasında daha ilerideki safha podsilik Boz - Esmer Orman Toprağıdır. Diğer taraftan kuvarşqa zengin, kil ve katyonlarca (özellikle Ca, Fe, Al) fakir anataşlardan ilman iklim etkisi altında oluşan topraklarda başka bir genetik gelişim sırası bahis konusu olabilmektedir. Bu defa Esmer Orman Toprağından, podsilik Esmer Orman Toprağı, bundan da Podsol - Esmer Orman Toprağı ve nihayet Podsol tipi gelişebilmektedir. Ancak inceleme bölgemizde (Kuzey Trakya) toprakların oluşum ve gelişimlerini etkileyen faktörler Podsol tipinin gelişimini sağlayamamış gözükmektedirler. Bu konu sonuç bölümünde tartışılmıştır.

## 2. TOPRAKTA BULUNAN DEMİR FRAKSİYONLARI

Bahis konusu edilmek istenen metod sisteminde toprakta bulunan demirin fraksiyonlanması ve bu fraksiyonların incelenmesine ağırlık verilmektedir. Bu nedenle toprağın demir fraksiyonlarına ait bazı bilgilerin hatırlanması yararlı görülmüşdür.

Toprakların genetik gelişimleri Si-, Al-, Fe- ve Mn-oksitlerin incelenmesi ile tayin edilmeğe çalışılmaktadır. Özellikle toprakta ve toprağın kil bölümünde ( $\phi < 0.002$  mm) bulunan Si-, Al- ve Fe-oksitlerin oranlanması ile yıkanma ve birikme horizonları arasındaki farklar araştırılmıştır. Ayrıca bu oranlar kullanılarak yurdumuz topraklarında podsolleşme ve lateritleşme yönündeki genetik gelişimler de araştırılmıştır (GÜLÇUR, F. 1958, 1964 a.b.). Bilindiği gibi asit ortamda ve podsolleşme yönündeki toprak gelişiminde Al- ve Fe-oksitlerin toprakta düşey yönde yıkanma ve birikmesi bahis konusu olmaktadır. Buna karşılık Si-oksitin asit ortamda yıkanmaya uğramadığı kabul edilmektedir. Tam aksine alkalen ortamda ve lateritleşme yönündeki toprak gelişim sırasında Si-oksitin yıkandığı, buna karşılık Al- ve Fe-oksitlerin ortamda kaldığı bilinmektedir. Böylece  $\frac{Si}{Al + Fe}$  oksitlerin oranı ile gerek toprak horizonlarındaki yıkanma ve birikme olayı, gerekse podsolleşme ve lateritleşme yönündeki genetik gelişim incelenilmektedir. Ancak son zamanlardaki bazı yayınlarla silisyumun asit ortamda da yıkanabiliginin saptanıldığı bildirilmektedir (SCHEFFER - SCHACHTSCHABEL 1970, sh. 336). Bundan dolayı özellikle podsolleşme yönünde gelişen toprakların incelenmesinde topraktaki Fe-oksitlerin fraksiyonlanması yönündeki çalışmalarla önem verilmiştir (U. SCHWERTMANN 1959 sh. 194, 1964 sh. 194, 1965 sh. 37; U. SCHWERTMANN - W. LENTZE 1966 sh. 209; E. SCHLICHTING - H. P. BLUME 1962 sh. 144; H. P. BLUME - U. SCHWERTMANN 1969). Topraktaki Al-oksitlerin tayini bazı metod ve teknik güçlükler yüzünden daha az pratik bulunmaktadır. Yukarıdaki nedenlerle topraktaki Fe-oksit fraksiyonları üzerine dikkatiniz yoğunlaşmaktadır.

Demir bileşikleri ilksel halde toprağınoluştugu anataştaki primer ve sekunder minerallere bağlı olarak bulunmaktadır<sup>1)</sup>. Ayırışma esnasında serbest kalan demir

<sup>1)</sup> Bu minerallerin formülleri için bak. tablo 1.

iyonları serbest demir oksitlere dönüşürler ve kristalleşirler. Veya ortamındaki koşullara göre  $\text{FeS}$ ,  $\text{FeSO}_4$ ,  $\text{FeCO}_3$  (Siderit) veya  $\text{FeCl}_3$  bileşiklerine dönüşürler. Ancak ortamındaki diğer kosullara bağlı olarak demir oksitlerin oluşumu ve kristalleşmesi hemen gerçekleşmeyebilir. Bu takdirde demir oksitlerin oluşumu ve kristalleşmesi amorf demir bileşiklerinin oluşumunu takibedebilir. Bu halde toprakta üç demir fraksiyonunu tanımlamak gerekmektedir.

- (1) Anataştaki minerallere bağlı ve henüz ayrılmamış bileşiklerdeki demir iyonları,
- (2) Toprağın amorf bileşiklerinde bağlı demir iyonları genellikle demir hidroksit,
- (3) Toprakta kristalleşmiş serbest oksitlerde ve topraklaşma esnasında oluşmuş diğer amorf olmayan bileşiklerde bağlı demir iyonları.

#### **Amorf demir oksitleri ve bunların topraktaki rolleri :**

Anataşın veya anataştan gelen minerallerin ayrılması esnasında serbest kalan diğer iyonlar ( $\text{Si}$ ,  $\text{Al}$ ,  $\text{Ti}$ ,  $\text{Mn}$ ) gibi demir iyonları da genellikle amorf yapıda ve kil çapında ( $< 0.002 \text{ mm}$ ) oksitler meydana getirirler. Bu amorf oksitler yüksek yüzey çekim yeteneğine sahip oldukları için ilk saflada ve uygun koşullarda diğer toprak taneciklerinin yüzeylerini kaplarlar ve toprak tanecikleri arasında yapıştırıcı bir rol oynarlar. Amorf demir oksitler esmer renkdedirler. Toprağa da esmer rengi verirler. Özellikle Esmer Orman Toprağının B. (balıklanma) horizonunun esmer rengi buradan gelir. Amorf demir oksitler positif elektrik yüküne sahip oldukları için negatif elektrik yüküne sahip kil mineralleri ile bağlanırlar ve toprakta küçük çaplı kırıntıların oluşumunu sağlarlar. Bu olay toprakta bulunan kalsiyum katyonlarının etkisine benzemektedir. Amorf alüminyum oksitlerin de bu yönde aynen amorf demir oksitler gibi etkisi vardır. Amorf demir oksitlerin positif elektrik yükü ortam asitleşikçe artmaktadır. Ancak aynen kalsiyum iyonlarının yıkamasında olduğu gibi, demir ve alüminyum iyonlarının da yıkaması kil taneciklerinin serbest kalmasını sağlamaktadır. Böylece kil bölümünün yukarıdan aşağı taşınıp birikmesi bahis konusu olmaktadır. Kristalleşmiş demir oksitler bu yönde amorf demir oksitlerden daha az etkilidirler (SCHEFFER - SCHACHTSCHABEL 1970).

Demir ve alüminyumun amorf oksitlerinin yıkama ve birikmesinde çelat (Çelat) teşekkülü önemli bir etkiye sahiptir. Nemli iklimlerde bitki toplumuna ve toprağın asit reaksiyonuna bağlı olarak organik maddenin (ormanدا ölü örtü) ayrılması bir gürume ve humuslaşma sürecinden gecmektedir. Organik maddenin bu süreçteki ayrılığında meydana gelen en önemli ürünler küçük moleküllü bileşiklerden polifenoller ve suda çözünebilen fulvik asitlerdir. Amorf demir oksitler indirgenerek bu organik asitlerle metal-organik bileşikleri oluştururlar. Bu metal-organik bileşiklere çelat da denir. Çelatlar suda çözünebilen bileşiklerdir. Çelat teşekkülü normal olarak asit, bazan da hafif alkalen ortamda gerçekleştirmektedir (SCHEFFER - SCHACHTSCHABEL 1970). Alkalen ortamda ise organik madde yüksek mikrobiyolojik faaliyet sonucunda, oksidatif ayrışma ile çabuk ayrıstiği için, alkalen topraklarda demir ve alüminyumun yıkama ve birikmesi seyrek rastlanan bir olaydır.

Amorf demir ve alüminyum oksitlerle çelat teşkil eden organik asitler topragın daha derin kesimlerinde artan kalsiyum iyonları ve pH'nın etkisi ile nötrleş-

mektedirler. Bu kesimde organik asitlerin taşıdığı demir ve alüminyum da pihtilaşıp çökelirler. Çökelen amorf demir bileşikleri daha sonra su kaybederek kırmızı renkteki kristal demir oksitlerine dönüşürler. Böylece toprağın üst kesiminde ağarmış bir yanıkma ve alt kesiminde de kırmızımsı renkte bir birikme horizonu meydana gelmeye başlar (SCHEFFER - SCHACHTSCHABEL 1970).

#### **Toprakta kristalleşmiş demir oksitler :**

Minerallere bağlı demir, bu minerallerin hidroliz yolu ile ayrışması esnasında çeşitli demir oksitlere dönüşür. Asit ortamda ve yavaş hidroliz sonucunda Götit ( $\alpha$ -FeOOH) kristalleri oluşur. Götit kristallerinin oluşumunda özellikle organik maddenin ve üç tabaklı kil minerallerinin etkisine dikkat çekilmiştir (SCHWERTMAN, U. 1965). Götit kristalleri sarımsı kahverengi ve iğneler şeklindeidir (SCHEFFER - SCHACHTSCHABEL 1970; SCHWERTMAN, U. 1965). Götit kristalleri İlman bölgelerin topraklarında oluşmaktadır. Bu topraklarda Hematit bulunmamaktadır. Götit iki değerli demir bileşiklerinin ( $FeSO_4$  ve  $FeCl_2$ ) oksidasyonu sonucunda da oluşur.

Tropik ve yarı tropik bölgelerin topraklarında ise genellikle hızlı ve devamlı hidroliz sonucunda oluşan üç değerli amorf demir hidroksit,  $Fe(OH)_3$ , su kaybederek Hematit'e ( $\alpha$ - $Fe_2O_3$ ) dönüşür. Üç değerli demir hidroksitin ve bundan da Hematit kristallerinin oluşumu ortamda organik maddenin azlığına ve üç tabaklı kil minerallerinin bulunmayışına bağlanmaktadır (SCHWERTMAN, U. 1965 sh. 37). Hematit kan kırmızısı renktedir. Altigen prizmalar şeklinde kristaller teşkil eder. Alkalen ortamda Hematit su kaybederek Götit'e dönüşebilir. Fakat Götit Hematit'e dönüşmez (SCHWERTMAN, U. 1965 sh. 37). Tropik ve yarı tropik bölgelerin topraklarında Götit ve Hematit ekseriya yanyana bulunurlar.

Götit ve Hematitten başka Lepidokrokit ve Maghemit te toprağın demir oksitleri arasındadır. Lepidokrokit ( $\gamma$ -FeOOH) portakal rengindedir. Öncelikle iki değerli demir bileşiklerinin, ortamda az miktarda  $CO_2$  bulunması halinde, oksitlenmesi ile Lepidokrokit oluşur. Buradaki iki değerli demir bileşikleri özellikle  $Fe(OH)_2$  ve  $FeS$ 'tir. Bu bileşikler kilce zengin,  $CaCO_3$ 'siz ve uzun bir ıslak devreye sahip durgun su topraklarında teşekkül ederler. Lepidokrokit dayanıklı değildir. Ortamındaki koşullara göre tekrar iki değerli demir bileşiklerine veya yeterli ve devamlı oksijen varsa Götit'e dönüşür. Maghemit ( $\gamma$ - $Fe_2O_3$ ) topraktaki iki ve üç değerli demir bileşiklerinin, organik maddenin etkisi ile (özellikle yangınlar ve turbalik yangınlarında) ve yüksek ısı altında meydana gelir. Maghemit kırmızı - kahve renktedir (SCHWERTMAN, U. 1965. sh. 37).

Yukarıda sıralananlardan başka toprakta Magnetit ( $Fe_3O_4$ ) ve İlmenit ( $FeTiO_3$ ) te bulunur. Bu ikisi ağır minerallerden olup, güç ayrışırlar. Bunlar mağmatik ori-jinlidirler. Toprağın olduğu anataştan gelirler. Magnetit ve İlmenit yukarıda sıralanan demir oksitler gibi sekunder bileşikler olmayıp, anataştan gelen primer demir oksitlerdir. Magnetit ve İlmenit ilerde bahsedilecek olan dityonit ve oksalat çözeltilerinde çözünmezler.

Buraya kadar verilen kısa açıklamadan da anlaşılacığı üzere toprakta biri anataştan gelen minerallere ve kile bağlı, digeri de ayrışma sonunda yeniden teşekkül etmiş demir bileşikleri bulunmaktadır. Bunlardan birinci gruptakini topraklaşmış demir, ikinci gruptakini ise topraklaşmış (pedogen) demir bileşikleri olarak tanımlayabiliriz. Topraklaşmış demir bileşikleri, amorf demir bileşikleri, ve kristal-

leşmiş demir bileşikleri olmak üzere ikiye ayrılmaktadır. Topraklaşmış demir bileşiklerinde bağlı bulunan demir iyonları dityyonitte çözünebilen demir fraksiyonu olarak tanımlanmaktadır. Topraklaşmış demir fraksiyonu  $\text{Fe}_{\text{d}}$  simgesi ile gösterilir (dityyonitten ötürü). Amorf demir bileşiklerinde bağlı bulunan demir iyonları aktif demir veya oksalat çözeltisinde çözünebilen demir fraksiyonu olarak tanımlanmaktadır. Aktif demir fraksiyonu  $\text{Fe}_{\text{a}}$  simgesi ile gösterilir (oksalattan ötürü). Toprağın total demir muhtevası ise topraklaşmış ve topraklaşmamış demir fraksiyonlarının tamamını kapsar ve  $\text{Fe}_{\text{t}}$  simgesi ile gösterilir. Buradan:

Topraklaşmamış demir =  $\text{Fe}_{\text{a}} + \text{Fe}_{\text{d}}$  olarak bulunur.

Aktif demirin, topraklaşmış demire oranı ( $\text{Fe}_{\text{a}}/\text{Fe}_{\text{t}}$ ) topraktaki yıkanma olayın aktivitesini göstermektedir. Özellikle amorf demir bileşiklerinin fazla bulunduğu genç topraklarda bu oran yüksek olarak bulunmuştur (SCHWERTMANN, U. 1964 sh. 194). Keza organik maddenin fazla bulunduğu horizonlarda da bu oran yüksektir (SCHWERTMANN, U. 1964 sh. 194).  $\text{Fe}_{\text{a}}/\text{Fe}_{\text{t}}$  oranından faydalananarak toprakların genetik gelişim safhaları arasındaki farklar incelenilmektedir (SCHWERTMANN, U. 1964, sh. 194; BLUME, H. P. - SCHWERTMANN, U. 1969). Topraklaşmış demir fraksiyonunun toprağı yıkanma ve birikme horizonlarındaki miktarlarının birbirine oranı ile bu horizonlar arasındaki fark analitik olarak ortaya konmaktadır. Yıkanma ve birikme horizonlarındaki topraklaşmış demir ( $\text{Fe}_{\text{d}}$ ) miktarlarının oranı ile yıkanma olayın şiddet hakkında fikir edinilmektedir.

### 3. TOPRAĞIN İNCELENMESİ METODLARI

Toprakların arazide incelenmesi ve horizonlarının ayırdedilmesi için gerekli bilgi A. IRMAK (1954) tarafından daha önce verilmiştir. Horizon özelliklerine göre toprakların genetik gelişim safhalarının arazide ayırdedilmesi için bir ayırm anahatı da tertiplenmiştir (KANTARCI, M. D. 1972). Toprak horizonlarına göre alınan ve analize hazırlanan örnekler aşağıdaki sıra ile incelenmişlerdir.

- (1) Higroskopik nem tayini
- (2) Tane çaplarının tayini
- (3) pH tayini
- (4) Organik karbon tayini
- (5) Azot tayini
- (6) Total demir ve diğer katyonların total miktarlarının tayini
- (7) Topraklaşmış demir miktarının tayini
- (8) Aktif demir miktarının tayini
- (9) Toprağın mübadele edilebilir katyonlarının ve mübadele kapasitesinin tayini

Toprakların higroskopik nem, tane çapı, pH, organik karbon, azot muhtevalarının ve katyonların total ve mübadele edilebilir miktarlarının tayini için gerekli bilgiler daha önce A. IRMAK (1954) ve F. GÜLÇUR (1974) tarafından verilmiştir. Katyonların total miktarları, total demir için elde edilen toprak çözeltisinde, müba-

dele edilebilir miktarları ise Mehlich metodu ile tayin edilmişlerdir. Bu analiz metodlarının burada tekrarına lüzum görülmemiştir. Buna karşılık demir fraksiyonlarının tayini için kullanılan metodlardan konunun öneminden dolayı bahsedilmiştir.

### **3.1. Total demirin tayin edileceği toprak çözeltisinin elde edilmesi**

Topraktaki bütün demir bileşiklerinde bağlı bulunan demir miktarının tayini için iki temel metod kullanılmaktadır.

- (1) Fluorik asitte toprağın eritilmesi metodu (SCHLICHTING, E. - BLUME, H. P. 1966'dan genişletilerek)
- (2) Susuz sodyum karbonatta toprağın eritilmesi metodu (GÜLÇUR, F. 1974)

Asit ortamda toprağın eritilmesi metodunda toprak akik veya porselen havanda çok ince öğütülerek analize hazırlanır. Bu topraktan 0.2 veya 0.5 gr örnek tartsılıp 30 ml'lik platin krözede eritilir. Krözeye konulan toprak örneği önce yüksek fırında 500°C'ta veya alevde kröze kızaranaya kadar kızdırılarak organik madde yakılır. Kröze soğutulup bir miktar ari su ile toprak islatılır. Krözelere 1 ml derişik (% 60 veya % 68) perklorik asit ( $\text{HClO}_4$ ) ve 10 - 15 ml % 40'luk (veya % 48) fluorik asit eklenir<sup>1)</sup>. Bundan sonra krözeler davlumbaza yerleştirilmiş kızgın kum banyosuna oturtularak, kröze kapaklıları 9/10 oranında kapatılıp buharlaşmaya terkedilir<sup>2)</sup>. Platin kaplarda buharlaşma tamamlanınca, çökelek fazla kurutulmaz. Krözeler hemen kum banyosundan alınır ve sogumağa terkedilir. Krözeler soğuduktan sonra pisetten püskürtülen ari su ile kapak kröze içine yakanır. Kröze kapağından tortu izi kalmamasına dikkat edilir. Krözedeki çökelek üzerine 10 ml 5 normal  $\text{HCl}$  ve 5 ml  $\text{H}_2\text{O}_2$  eklenir. Krözeler 10 dakika kadar kum banyosuna oturtulup kızdırılarak çökelek çözünlürler. Böylece toprakta bulunan demirin tamamı  $\text{FeCl}_3$  haline dönüştürür olur. Çökelek çözündükten sonra elde edilen sıvının tortusuz olması gereklidir. Tortu bulunması halinde krözedeki sıvı tamamen buharlaştırılır. Kröze soğutulur. Çökelek üzerine tekrar 1 ml derişik (% 60)  $\text{HClO}_4$  ve 10 ml derişik (% 40) HF eklenerek işlem tekrarlanır. Tortusuz çözelti elde edildikten sonra kröze muhtevası 100 ml'lik bir balon jojeye, madde kaybına meydan verilmeden, aktarılır. Balonluk çözeltide tortu bulunmamalıdır<sup>3)</sup>. Silisyum tayini yapılmayacak örneklerin eritilmesi bu metodla yapılır. Özellikle sodyum tayininin önemli görüldüğü toprakların bu metodla işlenmesi gerekmektedir.

Toprağın eritilmesi için susuz sodyum karbonat metodu da kullanılır. Özellikle silisyum tayini de yapılması öngörülen araştırmalarda bu metod kullanılır. Susuz sodyum karbonatla eritme metodu hakkında ayrıntılı bilgi daha önce verilmişdir (GÜLÇUR, F. 1974).

### **3.2. Topraklaşmış demirin tayin edileceği toprak çözeltisinin elde edilmesi (SCHLICHTING, E. - BLUME, H. P. 1966'dan genişletilerek).**

Bu işlemde pH'sı 7.3 olan ekstraksiyon çözeltisi ile topraklaşmış demir bileşiklerinde bağlı demir indirgenir ve çözündürücü sıvuya alınır. Toprakta bulunan ve

<sup>1)</sup> Güvenlik için: Perklorik asit davlumbaz penceresi indirilerek ve otomatik pipetle eklenmelidir. Fluorik asit plastik bir ölçek kullanılarak eklenir. Asitlerle çalışırken lastik eldiven kullanılmalıdır. Bu asitler ağızla emilen pipetlerle çekilemez.

<sup>2)</sup> Davlumbaz devamlı çalıştırılır. Kumi banyosunun sıcaklığı 200 - 220°C'ta tutulur. Asitlerin kröze içinde kaynamaması gereklidir. Kaynama ve çevreye sıçrama halinde madde kaybı olur.

<sup>3)</sup> Bu çözeltide Si hariç topraktaki bütün katyonlarının total miktarları tayin edilebilir. Silisyum fluorik asit kullanıldığı için buharlaşarak ortamdan ayrılmıştır.

anataştan gelen minerallere bağlı demir (Mağnetit, İlmenit gibi demir oksitlerdeki de dahil) çözündürülemez. pH'nın 7.3 te tutulması ile kil mineralleri de tahrîb olmazlar ve kil minerallerinin bünyesinde bağlı demir de çözündürülemez.

İşlem için 2 gr hava kurusu toprak örneği 100 ml'lik santrifüj tüplerine konular. Üzerine 40 ml 0.3 mol sodyum sitrat, 10 ml 0.1 mol sodyum bikarbonat eklenir. Santrifüj tüpleri özel sehpasına oturtulup su banyosuna daldırılır ve ısıtılır. Su banyosunun sıcaklığı 75 - 80°C ta tutulur. Isınma esnasında tüp muhtevası cam çubuk ile karıştırılır. Yeteri kadar ısındıktan sonra tüplere 1 gr sodyum dityyonit eklenir. 15 dakika süre ile ve cam çubukla karıştırılarak ısıtmaya devam edilir. Bu süre sonunda santrifüj tüpleri su banyosundan alınıp 5 dakika (3000 devir/dakikada) santrifüje edilir. Tüp içinde sıvıda asılı madde çöker. Duru halde kalan toprak çözeltisi 100 ml'lik balon pojeye kaba filtre kâğıdından aktarılır. Santrifüj bardağının daki çökelek üzerine 20 ml 0.3 mol sodyum sitrat ve 5 ml 0.1 mol sodyum bikarbonat çözeltisi eklenip tekrar su banyosunda ısıtılır. Isındıktan sonra tekrar 0.5 gr sodyum dityyonit eklenir. Isıtmaya devam edilir. Bu arada devamlı cam çubukla karıştırılır. İşlem sonunda tüpler 5 dakika süre ile (3000 devir/dakikada) santrifüje edilir. Tüp içinde duru sıvı balon pojeye, bir önceki toprak çözeltisinin üstüne, aktarılır. Tüp içinde kalın çökelek üzerine bu defa 20 ml 0.1 normal mağnezyum sülfat çözeltisi eklenir. Cam çubukla tüp muhtevası iyice karıştırılır. Tekrar santrifüje edilir. Tüp içinde duru toprak çözeltisi balon pojeye aktarılır. Böylece balonda yaklaşık 95 ml toprak çözeltisi toplanmış olur. Çözelti arı su ile 100 ml'ye tamamlanır. Elde edilen toprak çözeltisi içinde toprağın organik maddesi de bulunduğundan renk örneğinden değişik olacaktır.

### **3.3. Aktif demirin tayin edileceği toprak çözeltisinin elde edilmesi (SCHWERTMANN, U. 1964)**

Bu işlemde pH'sı 3.25 olan ekstraksiyon çözeltisi ile topraktaki amorf demir oksitler sıvuya alınırlar<sup>a)</sup>. İşlem için 2 gr (amorf demirin az tahmin edildiği örneklerden 5 gr) hava kurusu toprak örneği 150 ml'lik bir erlenmayere (veya şişeye) konur. Üzerine 100 ml amonyum oksalat çözeltisi eklenir<sup>a)</sup>. Erlenmayerin ağzı kapatılıp iki saat çalkalanır. Çalkalama işlemi çalkalama makinası ile ve karanlıkta yapılır. Çalkalama sonunda ekstract hemen kaba filtre kâğıdından süzülerek bir balon pojeye veya erlenmayere aktarılır. İlk süzüntü (5 - 10 ml kadar) bulanık geçtiği için atılır. Bundan sonraki duru süzüntüler balonda toplanır. Organik maddenin etkisi ile süzüntü sarı veya daha koyu renkte olabilir. Süzüntü bekletilmez. Organik maddenin tahribi ve demirin yükseltgenmesi için hemen müteakip işleme geçilir. Bu işlem safhasından demirin tayini kısmında bahsedilmiştir.

### **3.4. Elde edilen çözeltilerde demir tayini metodu**

Üç ayrı metod ile elde edilen çözeltilerde demir tayini yapılacaktır. Tayin edilen demir miktarları birbirleri ile karşılaşılacağı için metodun aynı tutulmasında fayda vardır. Özellikle sodyum dityyonit çözeltisinde tuz miktarı fazla olduğundan demirin flamfotometre veya atomabsorbsiyonmetre ile tayini güçleşmektedir. Bu nedenle demir tayininde kolorimetrik metod kullanılması daha uygundur.

<sup>a)</sup> Kullanılan çözelti Tam çözeltilidir. Bu çözelti koyu renkli şişede ve karanlık yerde saklanır. Çözeltilinin hazırlanması için 35,12 gr oksalikasit ve 56,8 gr amonyum oksalat arı su ile 2 litreye çözülür.

Çözeltiler kolorimetrede ölçmeye hazırlanmadan önce bir ön işleme sokulurlar. Bu işlemde çözeltilere geçmiş olan organik madde ve indirgeyici kimyasal maddeler tahrifedilerek demir üç değerli duruma yükseltgenir.

Ön işlem için:

1) Fluorik asit ile elde edilen toprak çözeltisinde ön işleme lüzum yoktur. Çözeltide organik madde veya indirgenmiş durumda demir kalmamıştır. Bu çözeltiden 2 ml çekilipl 50 ml'lik bir balon pojeye konulur.

2) Sodyum dityyonit ile elde edilen toprak çözeltisinde organik maddenin ve dityyonitin tahrifedilmesi, iki değerli demirin de üç değerli duruma yükseltgenmesi gerekmektedir. Bu maksatla demir çözeltisinden 2 ml çekilipl 50 ml'lik bir behere alınır. Behere 3 ml derişik  $\text{HClO}_4$  eklenerek kum banyosunda veya asbest bir levha üzerinde elektrik ocağında (davlumbazda) kuruyana kadar buharlaştırılır<sup>1)</sup>. Kurutma ileri derecelere götürülmel. Çökelein rengi beyaz kalmalıdır. Kurutma sonunda beher hafifçe soğutulur. Çökelek 3-5 ml arı su eklenip hafifçe ısıtılıarak çözündürülür. Kurutma çökelek kahverengiye dönüşene kadar yapılmışsa, arı su ile tam olarak çözünmez ve beherin dibinde bir miktar kalabilir. Bu durumda yeni çözelti çekerek uçurma işlemi beherin dibinde bir miktar kalabilir. Beherdeki çözelti yaklaşık 30 ml arı su ile (piset yardımını ile) 50 ml'lik bir balon pojeye aktarılır.

3) Amonyum oksalat ile elde edilen toprak çözeltisinde organik maddenin tahribi ve amonyum oksalatin ortamdan uzaklaştırılması gereklidir. Bu arada demirin tamamı da üç değerli duruma yükseltgenmiş olur. Bu maksatla toprak çözeltisinden 5 ml çekilipl, 50 ml'lik bir behere alınır. Behere 5 ml derişik  $\text{HClO}_4$  eklenir<sup>2)</sup>. Beher kum banyosuna veya asbest bir levha üzerinde elektrik ocağına oturtulup (davlumbazda) kurumağa bırakılır. Çökelek tamamen kurutulmaz. Çökelek beyaz renkte iken beher ocaktan alınır ve hafifçe soğutulur. Behere 3-5 ml arı su eklenir ve tekrar ısıtılıarak çökelein çözünmesi sağlanır. Beherdeki çözelti yaklaşık 30 ml arı su ile 50 ml'lik bir balon pojeye aktarılır.

Renk geliştirme :

Yukarıda üç ayrı metodla kazanılan ve ön işleme sokulan toprak çözeltilerinde aynı yoldan renk geliştirilir. Renk geliştirme için 50 ml'lik balon pojelerdeki çözeltiye 2 ml % 25'lik sülfosalisilik asit eklenir<sup>3)</sup>. Balondaki sıvının rengi kırmızıya döner. Balona, renk sarıya dönene kadar, çalkalanarak derişik amonyum hidroksit eklenir. Renk sarıya dönüşünce fazladan 0.5 ml daha amonyum hidroksit eklenir. Balon arı su ile 50 ml'ye tamamlanır. 30 dakika bekletilir. Sonra kolorimetrede ölçme yapılır. Ayrıca 2 ml % 25'lik sülfosalisilik asit ve yoğun amonyum hidroksit 50 ml'lik bir balona konulup arı su ile tamamlanarak kontrol çözeltisi hazırlanır.

Standart demir çözeltilerinin hazırlanması :

Standart çözeltiler stok demir çözeltisinden alınan porsiyonlarla hazırlanır. Bu maksatla stok I ve stok II çözeltileri hazırlanır.

Stok I çözeltisi : 1 ml'sinde 100 mg  $\text{Fe}^{+2}$  bulunacak şekilde hazırlanır. Çözeltiyi hazırlamak için 0.7022 gr (0.702163 gr) ferroamonyum sülfat<sup>4)</sup> tartılıp 500 ml arı su

<sup>1)</sup> Organik maddenin ve dityyonitin tahribi ve demirin üç değerli duruma yükseltgenmesi için hidrojen peroksit ( $\text{H}_2\text{O}_2$ ) te kullanılabilir. Ancak  $\text{H}_2\text{O}_2$  ile işlem uzamaktadır. İhtiyatlı davranış şartı ile perklorik asit ( $\text{HClO}_4$ ) kullanılması zaman kazandırmaktadır.

<sup>2)</sup> Fazla örnekle çalışıldığında büret kullanarak.

<sup>3)</sup>  $\text{Fe}(\text{NH}_3)_6 \cdot 6\text{H}_2\text{O}$  formül tartısı 392.158 gr. Formüldeki demir miktarı 55.85 gr.

suda çözülür ve üzerine 20 ml derişik sülfürik asit ( $H_2SO_4$ ) eklenir. Daha sonra hacim arı su ile litreye tamamlanır.

Stok II çözeltisi : Stok I çözeltisinden 10 ml çekilipli arı su ile litreye seyrettilir. Bu çözeltinin 1 ml'sinde 1 mg Fe vardır.

Standart çözeltilerin hazırlanması için stok II çözeltisinden sırası ile 2, 4, 6, 8, 10, 14, 16, 20, 30 ml çekilipli 50 ml'lik beherlere alınır. Beher muhtevası demirin üç değerli duruma yükseltgenmesi için 5 ml derişik  $HClO_4$  ile kum banyosunda ısıtılp buharlaştırılır. İleri derecede kurutulmadan çökelek arı su ile çözülmüş 50 ml'lik balon jojeye aktarılır. Renk geliştirilir ve 30 dakika sonra kolorimetrede ölçme yapılır.

#### Kolorimetrede ölçme :

Kolorimetre, demir tayini için 436 mikron dalga boyuna ayarlanır. Ölçme için 1 cm'lik küvetler kullanılabilir. Daha geniş küvetlere konulan çözelti koyu renk verdiği için yüksek demir mevcudiyetinde ölçmeyi güçlestirebilir. Kolorimetrenin skaliası kontrol çözeltisi için 100'e ayarlanır. Skalanın 100'de bulunup bulunmadığı her üç ölçüde bir kontrol edilir. Bu iş için küvetlerden birinin kontrol çözeltisi ile dolu olarak devamlı küvet askısında bulundurulması gereklidir. Okunan değerler standartlardan elde edilen değerlere göre çizilen bir grafiğe veya hesaplanan bir formüle uygulanarak demir miktarları bulunur.

#### 4. İNCELENEN TOPRAKLarda ELDE EDİLEN BULGULAR

Giriş bölümünde de belirtildiği gibi, inceleme için seçilen toprak gelişim sırasında bulunan tipik toprak tipleri örnek olarak alınmışlardır. Bu toprakların hepsi Kuzey Trakya Dağlık Orman Yetişme Bölgesinde (Yıldız Dağlık Kütesinde) ince kristalli şistlerden oluşmuş topraklardan seçilmiştir. Esmer Orman Toprağı tipinde iki toprak kesiti, Solğun - Esmer Orman Toprağından iki toprak kesiti, Boz-Esmer Orman Toprağından iki toprak kesiti örnek olarak alınmıştır. Diğer bir toprak kesiti arazi incelemelerinde Podsol - Esmer Orman Toprağı görünümünü vermektedir. Böylece toplam 7 toprak kesiti incelenmiştir.

#### Esmer Orman Toprakları :

T.P. - 121 ve T.P. - 122 numaralı iki kesitte incelenen topraklar arazide morfogenetik değerlendirmelere göre Esmer Orman Toprağı tipine girmektedirler<sup>10)</sup> (MÜCKENHAUSEN, E. 1962 - 66). Bu kesitlerin tanımları ekte verilmiştir. Her iki toprak kloritli şist anatasından oluşmuştur. Anatasın ufalanma zonu yoktur. B - C horizonu anatas üstünde yer almaktadır. Bu zonda topraklaşmamış demir miktarı ( $Fe_{ox}$ - $Fe_d$ ) iki kesitte de birbirine yakındır. Bu durum iki toprağın anataslarının demir muhtevası bakımından da denk olduğuna işaret etmektedir. Her iki kesitte kil miktarları ve toprak tekstürleri de birbirine çok yakındır (Tablo 2 - 3, Şekil 1 - b). İki toprak arasında önemli fark  $A_h$  horizonunda organik karbon miktarında bulunmuştur. Bu fark ağaç türüne, dolayısıyla ölü örtünün miktarına ve özelliğine bağlıdır. Organik maddenin T.P. - 121'in  $A_h$  horizonunda yüksekliği bu horizonta hacim ağırlığının (toprak + taş) düşük olmasını sona erdirmiştir (Tablo 2 - 3 ve Şekil 1 - a). Aktif demirin topraklaşmış demire oranı ( $Fe_{ox}$ / $Fe_d$ ) % 60'ın üstünde bulunmaktadır. Bu yüksek oran her iki Esmer Orman Toprağının  $A_h$  ve B, ho-

<sup>10)</sup> T.P. : Trakya'da incelediğimiz toprak profilleri için kullanılan özel simgedir.

rizonlarında yüksek bir yıkanma aktivitesini göstermektedir (Tablo 2 - 3 ve Şekil 2 - c).

#### Solgun - Esmer Orman Toprakları :

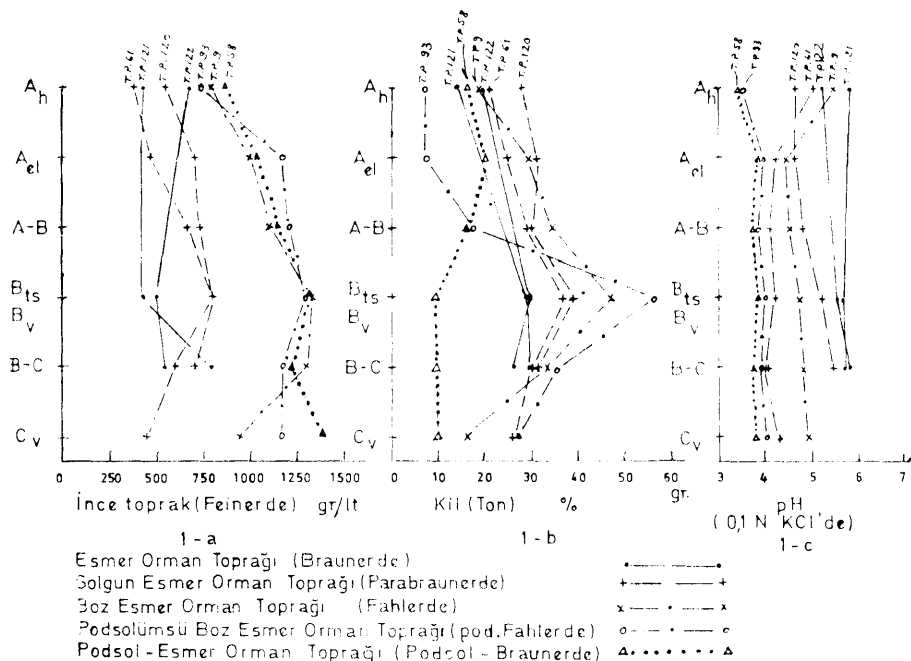
T.P. - 61 ve T.P. - 120 numaralı kesitlerde incelenen topraklar arazide yapılan morfogenetik değerlendirmelere göre Solgun - Esmer Orman Toprağı tipindedirler. Bu topraklar yabancı literatürde Sol lessive veya Parabraunerde olarak adlandırılmışlardır (MUCKENHAUSEN, E. 1962 - 66). Solgun kahverengi bir yıkanma ve kırmızımsı kahverengi bir birikme horizonuna sahiptirler. Özellikle kil bölümünün toprak kesitinde yukarıdan aşağı taşınır birikmesi tipiktir (Tablo 4 - 5 ve Şekil 1 - b). Kil bölümünün toprak içinde yer değiştirmesi yıkanma ve birikme horizonları arasında hacim ağırlığı ve tane çaplarındaki farklara sebeb olmuştur. Ayrıca birikme horizonunda strüktür elemanlarının yüzeylerinde bulunan kil kaymakları çok karakteristikdir. Solgun - Esmer Orman Toprağı tipine bu ismi Esmer Orman Toprakları sınıfında bulunduğu için ve solgun yıkanma horizonlarından ötürü verdik. Örnek toprakların tanımları ekte verilmiştir (Tablo 4 - 5). Her iki toprağın da anataşı kloritli şisttir. Anataş ufalanma zonundaki topraklaşmamış demir miktarı ( $Fe_{tot}/Fe_{sat}$ ) birbirine çok yakındır. Toprakta yukarıdan aşağı belirgin bir kil taşınma ve birikmesinin meydana geldiği analitik olarak ta saptanmıştır. Yıkanma horizonundaki kil miktarının birikme horizonundaki kil miktarına oranı T.P. - 120'de % 79, T.P. - 61'de % 68 olarak bulunmuştur. Toprakların pH değerleri de yıkanma zonunda 4.2 - 4.6 (0.1 N KCl'de) arasında bulunup kil taşınma ve birikmesi için uygun sınırlar arasındadır (Tablo 4 - 5 ve Şekil 1 - c). Topraklaşmış demir fraksiyonu da yıkanma ve birikme horizonları arasında fark göstermektedir (Tablo 4 - 5 ve Şekil 2 - a). Yıkanma horizonundaki  $Fe_{tot}$  miktarının birikme horizonundaki  $Fe_{sat}$  miktarına oranı T.P. - 120'de % 87, T.P. - 61'de % 72 olarak bulunmuştur. Bu oranlar topraklaşmış demir fraksiyonunun henüz aşırı derecede bir yıkanma ve birikmeye uğramadığını işaret etmektedir. Ancak aktif demir fraksiyonunun topraklaşmış demir fraksiyonuna oranı ( $Fe_{tot}/Fe_{sat}$ ) orta derecede bir yıkanma aktifliğini göstermektedir.  $Fe_{tot}/Fe_{sat}$  oranı her iki toprağın da üst horizonlarında ( $A_h$ ,  $A_{sat}$ , A - B) % 30 - 60 arasında kalmaktadır (Tablo 4 - 5 ve Şekil 2 - c).

#### Boz - Esmer Orman Toprakları :

T.P. - 9 ve T.P. - 93 numaralı kesitlerde incelenen topraklar arazide yapılan morfogenetik değerlendirmelere göre Boz - Esmer Orman Toprağı tipindedirler. Bu topraklar özellikle genetik toprak sistematигinde Fahlerde olarak tanımlanmışlardır (MUCKENHAUSEN, E. 1962 - 66). Solgun - Esmer Orman Toprağından daha ileri gitmiş bir kil taşınma ve birikmesine ve daha asit yıkanma horizonuna sahiptirler (Tablo 6 - 7 ve Şekil 1 - b, 1 - c). Yıkanma horizonu boz rengi, birikme horizonu da daha kırmızımsı rengi ile belirgindirler.

Örnek olarak seçilen iki toprağın tanımları ekte verilmiştir (Tablo 6 - 7). Bu iki topraktan T.P. - 9'daki toprağın anataşı serisit şist. T.P. - 93'teki toprağın anataşı kuvars serisit şistdir. T.P. - 9'daki toprağın ufalanma zonunda topraklaşmamış demir miktarı ( $Fe_{tot}/Fe_{sat}$ ) 2.454 gr/100 gr toprak, değeri ile kloritli şistlerin topraklarının aynı horizontaki demir miktarının yarısı kadardır. T.P. - 93'ün ufalanma zonundaki topraklaşmış demir miktarı ise 1.250 gr/100 gr toprak, değeri ile çok düşüktür. Kesit boyunca yukarıdan aşağı çok belirgin bir kil taşınma ve birikmesi vardır. Yıkanma ve birikme horizonları arasında kil miktarlarının birbirine oranı T.P. - 9'da % 13 olarak bulunmuştur. Toprağın yıkanma zonunda pH değeri T.P. -

9'da 4.4, T.P. - 93'te 3.9 olarak (0.1 N KCl'de) ölçülmüştür. T.P. - 9'daki pH değeri kil bölümünün taşınma ve birikmesi için uygun sınırlar arasında kalmaktadır. T.P. - 93'teki pH değeri ise kılın tahrıbolduğu ve podsolleşmenin başladığı şiddetli asit ortama girmektedir (Tablo 6 - 7 ve Şekil 1 - c). Topraklaşmış demir miktarlarından



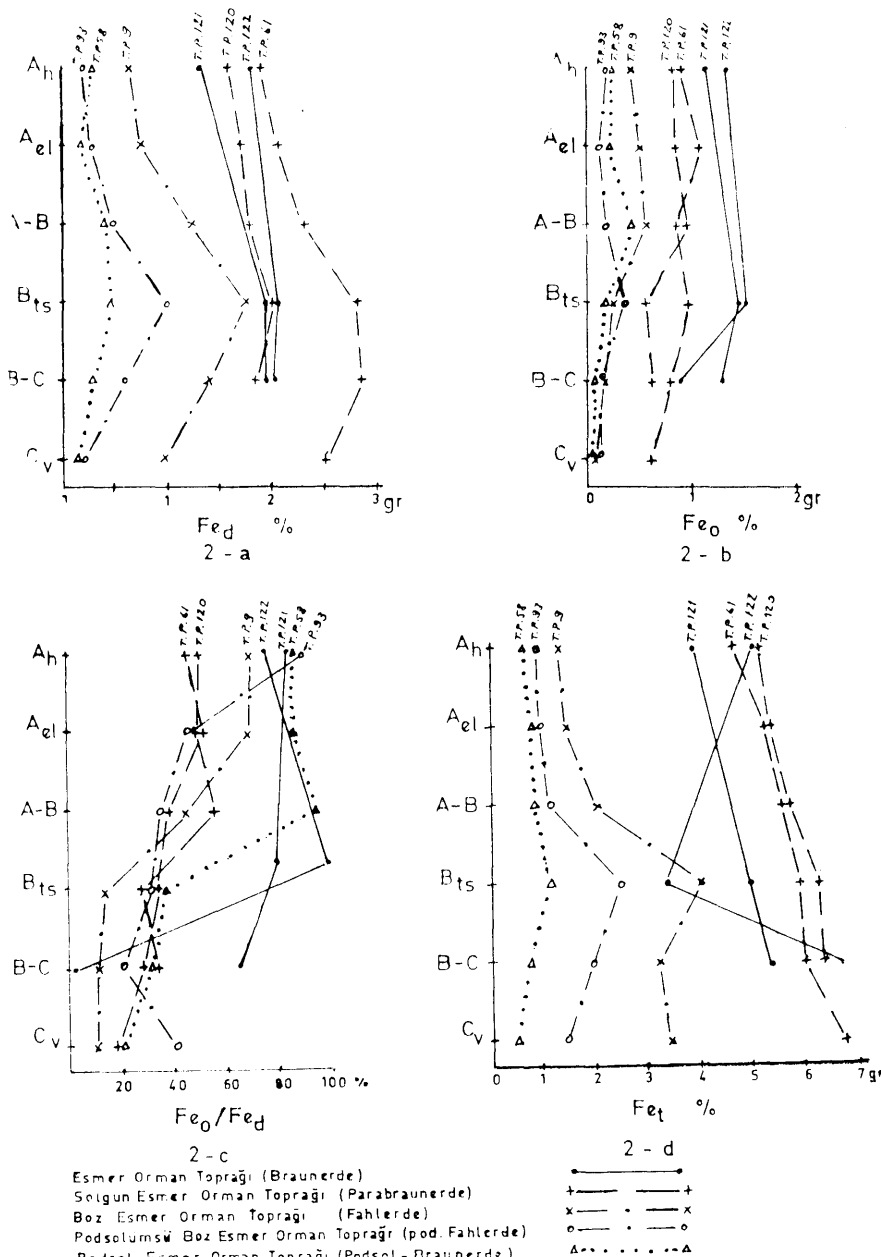
Şekil 1. Kuzey Trakya Dağlık Orman Yetişme Bölgesinde silikat anataşlarından oluşan tipik topraklarda ince toprak miktarının (gr/lt), kıl bölümünün (%), ve pH değerinin (0.1 N KCl'de) toprak horizonlarına göre değişimi.

Abb. 1. Die Variierung der Feinerdegehalte, Tongehalte und pH-Werte nach den Bodenhorizonten der typischen Böden aus silicatischen Ausgangsgesteinen im Nord-Trakischen Gebirgslandschaft.

da yıkanma ve birikme olayının ilerlemiş olduğu anlaşılmaktadır (Tablo 6 - 7 ve Şekil 2 - a). Yıkanma ve birikme horizonları arasında topraklaşmış demir miktarlarının birbirine oranı T.P. - 9'da % 43, T.P.93'te % 26'dır. Aktif demir fraksiyonunun topraklaşmış demire orani ( $Fe_6/Fe_2$ ) orta dereceli bir yıkanma aktifliğini göstermektedir (Tablo 6 - 7 ve Şekil 2 - c). Ancak T.P. - 93'ün  $A_h$  horizonundaki yüksek aktiflik oranına (% 89) dikkati çekmek gereklidir. Kanımızca bu yüksek aktiflik oranında düşük pH değerleri ile asit karakterdeki kara çam ölü örtüsünün etkisi bulunmaktadır.

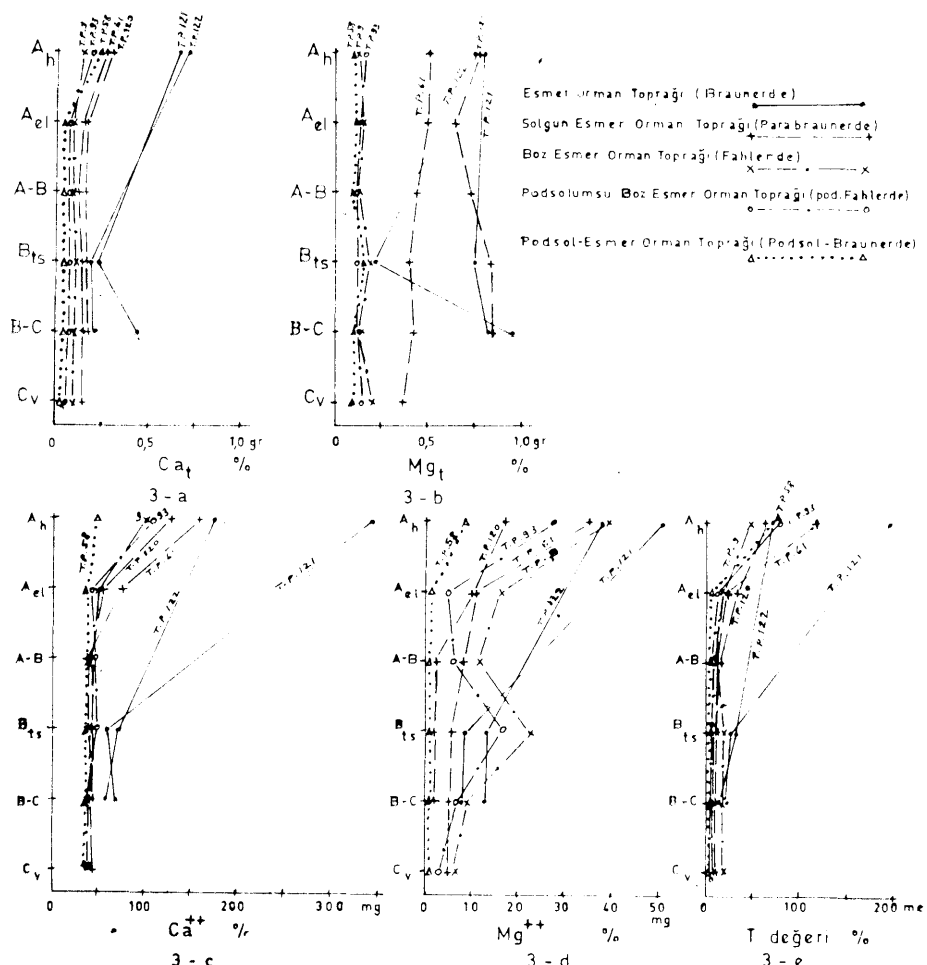
#### Podsol - Eşmer Orman Toprağı :

T.P. - 58 numaralı kesitte incelenen toprak arazideki değerlendirmemizde Podsol'e benzetilmiştir. Toprağın oluştuğu anataş kuvars - serisit şistidir. Kesitte yukarıdan aşağı kıl taşınma ve birikmesi saptanamamıştır (Tablo 8 ve Şekil 1 - b). Bu na karşılık belirgin ağarmış ve kırmızı renkleri ile yıkanma ve birikme horizonları görülmüştür. Ayrıca kalın ve tam ayrılmamış, siyah renkte bir meşe + kayın + orman gülü ölü örtüsü ilgi çekicidir. Toprak tanıtımı ekte verilmiştir (Tablo 8). Toprağın



Şekil 2. Kuzey Trakya Dağlık Orman Yetişme Bölgesinde silikat anataşlarından oluşan tipik topraklarda topraklaşmış demir bölümünün ( $Fe_d$ ), aktif demir bölümünün ( $Fe_a$ ), total demir bölümünün ( $Fe_t$ ) ve topraklaşmış demir bölümünün aktifliğinin ( $Fe_a/Fe_d$ ) toprak horizonlarına göre durumu.

Abb. 2. Die Verilierung der pedogenen Elsen ( $Fe_d$ ), aktiven Eisen ( $Fe_a$ ), totalen Eisen ( $Fe_t$ ) - fraktionen und aktivität von pedogenen Eisen ( $Fe_a/Fe_d$ ) nach den Bodenhorizonten der typischen Böden aus silicatischen Ausgangsgesteinen im Nord Thrakischen Gebirgslandschaft.



Şekil 3. Kuzey Trakya Dağlık Orman Yetişme Bölgesinde silikat anataşlarından oluşan tipik topraklarda total kalsiyum ( $Ca_t$ ), total mağnezyum ( $Mg_t$ ), değiştirilebilir kalsiyum ( $Ca^{++}$ ), değiştirilebilir mağnezyum ( $Mg^{++}$ ) ve toplam katyon değişim kapasitesi ( $T$  değeri) miktarlarının toprak horizonlarına göre bulunusu.

Abb. 3. Die Variiierung der totalen Calcium ( $Ca_t$ )-, totalen Magnesium ( $Mg_t$ )-, austauschbaren Calcium ( $Ca^{++}$ )-, austauschbaren Magnesium ( $Mg^{++}$ )-gehalte und totalen Austauschkapazität ( $T$ -wert) nach den Bodenhorizonten aus silicatischen Ausgangsgesteinen im Nord-Thrakischen Gebirgslandschaft.

laboratuvardaki incelemelerinde de kumlu bir tekstüre sahip bulunduğu, topraklaşmış demirin yıkanma ve birikme horizonlarındaki miktarlarının birbirine oranının % 50 olduğu anlaşılmıştır. Aktif demir fraksiyonunun topraklaşmış demire oranı ( $Fe_{a}/Fe_d$ ) üst toprak horizonlarında çok yüksek bir yıkanma aktifliğini göstermektedir (Tablo 8 ve Şekil 2 - c). Toprağın pH değerleri  $A_h$  ve  $A_e$  horizonlarında 3.5 ve 3.8 (0.1 N KCl'de) olarak ölçülmüştür (Tablo 8, Şekil 1 - c). Bütün bulgular bu toprağın Solgun - Esmers Orman Toprağı → Boz - Esmers Orman Toprağı gelişim sıra-

sında olmadığını, aksine tipik Podsol'e giden Esmer Orman Toprağı → podsoliimsü Esmer Orman Toprağı → Podsol - Esmer Orman Toprağı → Esmer Orman Toprağı - Podsol → Podsol gelişim sırasında bulunduğuuna işaret etmektedir. Ancak aynı toprakta baz doygunluğu oranı ( $\% V=S/T$ ) yüksek bulunmuştur (Tablo 8). Baz doygunluğu oranı yıkama zonunda  $\% 42$ , birikme zonunda  $\% 47$ 'dir. Bu oranlar tipik Podsol'lerden çok yüksek sayılarılar.

#### I. TARTIŞMA VE SONUÇ :

Yukarıda beri dört toprak tipi bir metod sisteminde incelenmeye çalışılmıştır. Toprakta yıkama ve birikme olaylarının incelenmesinde burada verilen metod sistemini destekleyen diğer bazı metodların da kullanılması gerekebilir. Metod sistemimizde arazideki morfogenetik toprak tanımlamasına ve laboratuvara kil bölümünün taşımp birikmesi ile demir fraksiyonlarının yıkama ve birikmesinin analitik olarak incelenmesine ağırlık verilmiştir. Bu bulgular toprağın reaksiyonuna, organik madde miktarına, C/N oranları ile mübadele edilebilir katyonlara, baz doygunluğu ( $\% V$ ) oranına ve total katyonlara ait bilgilerle desteklenmiştir. Bu metod sistemi ile ülkemizde İlman iklimlerin hakim olduğu bölgelerde silikat anataşından oluşmuş toprakların genetik gelişimlerine ait önemli bilgileri elde etmek mümkün görülmektedir.

Toprak tanıtım tablolarında da görüldüğü üzere arazide horizonların ayırtılması ile toprakların bulunduğu genetik gelişim safhaları hakkında temel bilgiler elde edilmiştir. Laboratuvara elde edilen analiz sonuçları arazideki bulgularımızı desteklemektedir. Bu cümlleden olarak aşağıdaki sonuçları sıralayabiliriz.

#### Toprağın hacim ağırlığındaki farklar :

Toprakların genetik gelişimleri ilerledikçe hacim ağırlığında da farklar meydana gelmiştir. Esmer Orman Topraklarının  $A_h$  horizonları bir anlamda yıkama-nın başlama eğiliminde olduğu veya başladığı zonlardır. Fakat  $B_h$  horizonları tipik birikme zonu durumunda degillerdir.  $B_h$  horizonu daha çok uflatma ve ayrışma ile bir taraftan da kil minerallerinin olduğu zon olup «balıklanma zonu» olarak tanımlanırlar. Esmer Orman Topraklarının  $A_h$  ve  $B_h$  horizonları arasında ince toprağın hacim ağırlığı (gr./lt) farkı T.P. - 121'de belirgin değildir. T.P. - 122'de ise bu fark  $A_h$  horizonu lehinedir. Taşılık oranı her iki toprağın  $A_h$  ve  $B_h$  horizonlarında birbirine yakındır (Tablo 2 - 3, Şekil 1 - a).

Ince toprağın birim hacimındaki ağırlığı Solgun - Esmer Orman Toprağında daha az, Boz - Esmer Orman Toprağında daha fazladır. Ince toprağın birim hacimındaki miktarının Esmer Orman Toprağından Boz - Esmer Orman Toprağına doğru arttığı görülmektedir. Buna karşılık birim hacimındaki taşılık oranında azalma vardır (Tablo 2 - 3 ve Şekil 1 - a). Yıkama ve birikme horizonları arasında birim hacimdedeki ince toprak farkı bu horizonlar arasında bir sıklık farkının bulunduğuunu işaret etmektedir. Bu bulgu toprağın bazı bölmelerinin yukarıdan aşağı taşımp biriktiginin de belirtisidir.

#### Toprağın tekstüründeki farklar ve kil bölümünü taşımp - birikmesi :

Esmer Orman Topraklarında  $A_h$  ve  $B_h$  horizonlarının tekstürleri farklı bulunmaktadır. T.P. - 121'de toprak  $A_h$  horizonunda balık türünde, balıklanma ( $B_h$ ) zo-

nunda ise balçıklı kil türündedir. T.P. - 122'de toprak A<sub>1</sub> zonunda killi balçık türünde, balçıklanma zonunda ise balçıklı kil türündedir. Solgun - Esmer Orman Topraklarının yıkanma (A<sub>1</sub>) ve birikme (B<sub>1</sub>) horizonlarında toprak balçıklı kil türünde bulunmuştur (Tablo 4 - 5). Buna karşılık Boz - Esmer Orman Topraklarında yıkanma zonunda kumlu, birikme zonunda ise killi tekstürde toprak bulunduğu anlaşılmaktadır (Tablo 6 - 7). Podsol - Esmer Orman Toprağında ise toprak türü yıkanma zonunda (A<sub>1</sub>) kumlu killi balçık iken, birikme zonunda (B<sub>1</sub>) kumlu balçaktır. Bu toprak tipinde yukarıdan aşağı bir kil taşıınma ve birikmesi saptanamamıştır (Tablo 8, Şekil 1 - b).

Arazi incelemelerinde kil bölümünün yıkanma ve birikme zonlarında farklı miktarlarda bulunduğu saptanmıştır. Özellikle yıkanma zonundaki toprak parmaklar arasında daha kumlu, birikme zonundaki toprak daha killi bir his vermiştir. Bunun yanında yıkanma zonunda toprağın strüktürünün kısmen tek tane yapısında, birikme zonunda ise köşeli topaklı ve daha ileri gelişim safhasında prizmatik yapıda bulunması kil taşıınma ve birikmesinin diğer bir belirtisidir. Fakat birikme zonunda kil birikiminin en belirgin işaretü strüktür elemanlarının yüzeyindeki kil kaymaklarıdır. Kil kaymakları hem Solgun - Esmer Orman Toprağında hem de Boz - Esmer Orman Toprağında birikme (B<sub>1</sub>) horizonlarında bulunmaktadır. Esmer Orman Toprağıının balçıklanma zonunda (B<sub>1</sub>) ve Podsol - Esmer Orman Toprağıının birikme (B<sub>1</sub>) zonlarında kil kaymakları bulunamamıştır. Kil taşıınma ve birikmesi yıkanma ve birikme horizonlarındaki kil miktarlarının birbirine oranı ile ifade edilebilir. Bu oran toprağın gelişim safhası ile doğru orantılı olarak azalmaktadır. T.P. - 121'de % 79, T.P. - 61'de % 68, T.P. - 9'da % 43, T.P. - 93'te % 13 (Tablo 2, 3, 4, 5, 6, 7). Podsol - Esmer Orman Toprağında ise yıkanma zonundaki kil miktarı birikme zonundakinden fazladır (Tablo 8). Kil miktarının birim hacimdaki ağırlığı da (gr lt) yukarıdan aşağı önemli bir miktar kil taşıınma ve birikmesinin gerçekleştigini göstermektedir. Buna karşılık Podsol - Esmer Orman Toprağında birim hacimdaki toprak, yıkanma zonundan birikme zonuna doğru arttığı halde, birim hacimdaki kil miktarı azalmaktadır (Tablo 2 - 8 ve Şekil 1 - b).

Araştırma bölgemizde ilman bir iklim ve yapraklı bir orman toplumu etkisi altında kil bölümünün yukarıdan aşağı taşıınip birikmesi olayı gerçekleşmiştir. Toprakların reaksiyonu da kil bölümünün serbest kalması (disperzleşmesi) ve taşıınmanın gerçekleşmesi için en uygun sınırlar içindedir. Bilindiği gibi kil bölümünün toprak içinde ve düşey yönde taşıınip birikmesi, ilman bölgelerde, yapraklı orman altında, pH 4.5 - 6.5 arasında optimumundadır<sup>10</sup>. Katyonların (özellikle Ca, Fe ve Al) yıkanması kılın serbest kalmasını sağlamaktadır. Hızlı sızan toprak suyunda süspansiyon olan kil bölümü de çatlaklar ve iri çaplı gözenekler boyunca yukarıdan aşağı taşıınip birikmektedir. Ancak toprak reaksiyonunun daha asitleşmesi (pH < 4.5) bu defa kil minerallerinin tahribi sebeb olmaktadır. Özellikle asit ayrışma ürünlere veren toprak ölü örtüsü ve iklimin serinleşmesi, anataşın çok değerli katyonlarca (Ca, Fe, Al gibi) fakirliği üst toprağın asitlik derecesinin artmasını sağlanmaktadır. Örneklerimizde de T.P. - 93'te kara çam ormanın asit ölü örtüsü altında (yüksekti 155 m) kil bölümünün yıkanma (A<sub>1</sub>) horizonunda önemli ölçüde az bulunduğu saptanmıştır. Bu durum kil minerallerinin bir yandan taşıınırken bir yandan da bu asit ortamda tahribi ile ilişkili olmalıdır. Diğer yandan T.P. - 58'de (yüksekti 655 m) yıkanma zonundan (A<sub>1</sub>), birikme zonuna (B<sub>1</sub>), yani yukarıdan aşağı bir kil taşıınma ve birikmesi olayı saptanmamıştır. Bu durum ise pH değerinin düşük ve yıkanmanın ileri derecede bulunduğu ortamda kılın tahriboldüğünü işaret eder görünmektedir. Anataşın iki ve üç değerli katyonlarca fakirliği, yükseltiye bağlı

olarak iklimin nisbi serinlemesi ve nemliliğin artışı, toprak yüzeyinin tamamen orman gülü ile kaplı oluşu bu fikrimizi kuvvetlendirmektedir. Meşe + kayın ormanı altında ve toprağı tamamen kapatan orman gülü örtüsünden dolayı güneş ışınları toprağın yüzeyine ulaşamamaktadır. Bu şartlar altında ölü örtünün ayrışması güçleşmektedir. T.P. - 58'de üst toprak yüzeyinde kalın ve çok belirgin çürütü tabakasına sahip bir ölü örtü bulunmaktadır. Keza A<sub>h</sub> horizonunun kalınlığı ve bu horizontondaki yüksek C/N oranı (% 40) da humusun yeterli bir hızla ayrılamadığını göstermektedir. Bu koşullar kıl bölümünün yukarıdan aşağı taşınmasından ziyade tahribine daha uygundur<sup>11)</sup>.

#### **Toprak reaksiyonu :**

İncelenen toprakların hepsi asit reaksiyona sahiptir. Ancak asitliğin derecesi Esmer Orman Topraklarından Boz - Esmer Orman Topraklarına doğru artmaktadır. Yapraklı orman altında yer alan Esmer Orman Topraklarında ortamın pH 5.2 - 5.8 arasında bulunduğu, bu topraklarda kıl bölümünün taşınmağa başlaması için en uygun durumdur. Nitelim daha ileri safhada, yani Solğun - Esmer Orman Toprağı safhasında yıkanma horizonunda pH değerleri T.P. - 61'de 4.2, T.P. - 120'de 4.6 olarak bulunmaktadır. Bu safhada belirgin bir kıl taşılanması da saptanmıştır. Boz - Esmer Orman Topraklarında ise yıkanma horizonunda T.P. - 9'da pH 4.4, T.P. - 93'te pH 3.9 olarak bulunmaktadır. Yapraklı orman altında yer alan T.P. - 9 tipik Boz - Esmer Orman Toprağıının yıkanma zonuna sahiptir. Kara çam ormanı altında yer alan T.P. - 93'ün yıkanma zonundaki pH değeri ise kılın taşınabildiği fakat aynı zamanda tahribolduğu, yani podsolleşmenin başladığı bir ortamı temsil etmektedir. T.P. - 58'de ise A<sub>h</sub> ve A<sub>1</sub> zonunda pH değerinin düşüklüğü (pH 3.5 ve 3.8) podsolleşme olayı açısından dikkat çekicidir (Şekil 1 - c)<sup>11)</sup>.

#### **Topraklarda organik karbon miktarı :**

Organik maddenin miktarı yanında, oluştugu ölü örtünün özellikleri de çok önemlidir. Organik maddenin ayrışması ile meydana gelen ürünlerin asit karakterde olup olmadığı, ölü örtüyü veren bitki toplumuna olduğu kadar, ölü örtünün ayrışmasını etkileyen koşullara da bağlı bulunmaktadır. Araştırdığımız toprakların bir kısmı (T.P. - 121, 122, 61, 120, 9) meşe ve kayın meşcerelerinin altından alınmışlardır. Diğer ikisinden T.P. - 58 meşe + kayın + orman gülü meşceresinin altından, T.P. - 93 ise kara çam meşceresinin altından alınmıştır. Toprakta yıkanmanın aktifliği ( $Fe_{\text{a}}/Fe_{\text{d}}$ ) konusunda ölü örtünün karakteri ve organik maddenin miktarına dikkati çekmek gerekecektir.

Organik maddenin özellikle kolloidal ölçülerde toprak kesiti boyunca yukarıdan aşağı taşınıp birikmesi özellikle podsolleşme olayında önemli bir anlam kazanmaktadır. Demir - humus podsolu oluşumu organik karbonun toprak kesiti boyunca değişimini incelenmesi ile analitik olarak saptanabilekmektedir. İncelediğimiz toprakların birikme zonunda organik karbon miktarında bir artış görülmemiştir. T.P. - 93'te

<sup>11)</sup> — Kıl Bölümünün taşınması için en uygun pH dereceleri 5.5 - 6.5 arasındadır (sh. 334).

— Kılın taşınaması pH 4.5'te durur (sh. 383) (Scheffer - Schachtschabel 1970).

— Kıl bölümü pH 4.5 - 6.5 arasında taşınabilir (D. Schröder 1969 sh. 88).

— pH 4.5 - 5.0 arasında kıl bölümünün taşınması ve tahribi (podsolleşme) birlikte yürürl (E. Mückenhausen 1966 sh. 82).

— Podsolleşme şiddetli asit ortamda başlar ( $pH < 4.5$ ) (Scheffer - Schachtschabel 1970 sh. 383).

— Kıl minerali pH 3'ten aşağıda hızla tahrıbolur.

— Burada bahis konusu olan pH 0.1 N KCl çözeltisinde ölçülen pH değeridir.

A - B<sub>1</sub> horizonlarında görülen artış ise çok önemli değildir. Buna rağmen bu artış toprağın genetik gelişimindeki yönü göstermekte olup diğer bulgularla birlikte ele alındığında ilginç bir işaret sayılabilir. Daha yüksek ve serin - nemli iklimde sahip dağlık bölgelerimizdeki toprakların incelenmesinde organik karbonun tayini önemli bilgiler edinmemimize yardımcı olabilir.

Diger taraftan organik karbonun azot miktarına oranı (C/N) özellikle humus tipinin tayini ve ölü örtünün ayrışmasının hükümlendirilmesinde bir ölçü olarak kullanılmaktadır<sup>12)</sup>. C/N oranı tek başına önemli bir ölçü olarak ele alınmamalıdır. Ancak toprağın genetik gelişim yönünü gösteren diğer bulguların desteği ile veya onları destekleyecek bir anlam kazanabilir. T.P. - 58'in A<sub>b</sub> horizonunda C/N oranı 40 olarak bulunmuştur. Bu yüksek C/N oranı, toprağın asitliği, ağaç türü, ölü örtünün morfolojik yapısı, yükseltiye bağlı olarak nemli ve serin bir iklimin etkisi, kil taşınmasının olmayacağı fakat yüksek yılanma aktifliği gibi bulguların yanısıra, podsolleşme yönünde bir gelişimi göstermektedir. Diğer toprak kesitlerinde A<sub>b</sub> horizonundaki C/N oranları organik madde ayrışmasının aşırı derecede engellenmemiş olduğunu göstermektedir. Bu topraklarda humus tipinin de çürütüllü mul olarak bulunduğu göstermektedir. Bu topraklarda humus tipinin de çürütüllü mul arasında uygunluk vardır.

#### **Toprağın demir fraksiyonları :**

Topraklaşmamış demir fraksiyonu ( $Fe_{\text{t}} - Fe_{\text{d}}$ ) incelenen toprakların oluşturukları anataşla göre farklı miktarlarda bulunmuştur. Toprağın henüz oluştuğu ufalanma zonu veya B - C horizonunda anataşın etkisi en fazladır. Bu zon hemen anataşın üstünde yer almaktadır. Burada ince toprağın topraklaşmamış demir muhtevası anataştan gelen etki hakkında bir fikir verebilir. Hemen anataşın üstünde yer alan horizonlarda topraklaşmamış demir muhtevası ( $Fe_{\text{t}} - Fe_{\text{d}}$ ) klorlitli şistlerin topraklarında 3.4 - 4.7 gr/100 gr toprak, arasında bulunmaktadır. Topraklaşmamış demir; serisit şist'ten oluşan toprağın ufalanma zonunda 2.4 gr/100 gr toprak, Kuvars - serisit şistten oluşan toprakların ufalanma zonunda T.P. - 93'te 1.2 gr/100 gr toprak, T.P. - 58'de 0.36 gr/100 gr toprak olarak bulunmaktadır. Topraklaşmamış demir muhtevası az olan kuvars - serisit şistlerden oluşan toprakların horizonlarındaki topraklaşmamış demir muhtevalarının, klorlitli şistlerden oluşan toprakların horizonlarından dakinde az oluşu, anataşın toprak ve toprağın genetik gelişimi üzerindeki etkisinin bir belirtisidir (Bak. Tablo 2 - 8 ve Şekil 2 - d).

Topraklaşmış demir ( $Fe_{\text{d}}$ ) fraksiyonunun yılanma horizonlarında azlığı, birikme horizonlarında arttığı görülmektedir. Yılanma ve birikme horizonlarındaki topraklaşmış demir miktarlarının birbirine oranı Solğun - Esmer Orman Topraklarında % 72 ve % 87, Boz - Esmer Orman Topraklarında % 26 ve % 43, Podsol - Esmer Orman Toprağında ise % 50 olarak bulunmaktadır. Bu oranlar toprak kesiti boyunca demirin yılanıp birikmesinden ileri gelen ve toprağın bulunduğu genetik gelişim safhasına göre değişen renk farklarını da açıklamaktadır (Şekil 2 - a). Topraklaşmış demir muhtevası ile anataş arasında bir ilişkinin de bulunduğu anlaşılmaktadır (Şekil 2 - a).

<sup>12)</sup> Scheffer - Schachtschabel 1970.

C/N oranı: Esmer Orman Toprağının organik horizonunda 10 - 22 arasında,  
Solğun - Esmer Orman Toprağının organik horizonunda 10 - 15 arasında,  
Boz - Esmer Orman Toprağının organik horizonunda 30 - 40 arasında.  
C/N oranı ham humusta 30 - 40 arasında, çürütüllü mul tipi humusta 20 civarındadır.

Aktif demir ( $Fe_{\text{a}}$ ) miktarı özellikle organik maddece zengin A<sub>b</sub> horizonlarında daha fazla bulunmuştur. Toprak tiplerine göre aktif demir fraksiyonları karşılaşlığında belirgin farklar görülmektedir. Aktif demerin Esmer Orman Topraklarında en fazla bulunduğu ve Boz - Esmer Orman Toprağı tipine doğru azalma gösterdiği anlaşılmaktadır (Şekil 2 - b). Aktif demir fraksiyonunun miktarı topraklarda renk farklılarını açıklığa kavuşturmaktadır. Esmer Orman Toprağının balıklanma zonundaki esmer - kahve renk burada aktif demirin fazlalığından ileri gelmektedir. Solgun - Esmer Orman Toprağında ise solgun kahverenkteki yılanma zonu aktif demirin etkisini göstermektedir. Solgun - Esmer Orman Toprağının birikme zonunda aktif demir fraksiyonu azalmakta, topraklaşmış demirin kristalleşmiş fraksiyonu artmaktadır. Bu durum birikme horizonunun kırmızımsı kahve rengini açıklamaktadır. Boz - Esmer Orman Toprağında aktif demirin çok az oluşu yılanma zonunun renklenmesine yetmemektedir. Birikme zonunda ise artan kristalleşmiş demir fraksiyonu ( $Fe_{\text{a}} - Fe_{\text{s}}$ ) bu zona kırmızımsı rengi vermektedir. Aynı durum Podsol - Esmer Orman Toprağı için de geçerlidir.

Aktif demirin yukarıdan aşağı yılanması ve birikme horizonunda birikmesi olayı toprağın arazide incelenmesinde de fark edilmektedir. Birikme horizonunda strütür elemanlarının yüzeyinde biriken kıl kaynakları aktif demir ihtiyacı ettiğlerinden esmer renken kahve rengine kadar değişen tonlara sahiptirler. Bu nedenle strütür elemanlarının yüzeylerinde daha kıhvemsi veya esmer kıhvemsi, kesitlerinde kırmızımsı bir renk görülmektedir. Toprağın genetik gelişimini ilerledikçe strütür elemanlarının yüzeylerinde biriken amorf (aktif) demir fraksiyonu da giderek kristalleşmiş demir fraksiyonuna dönüşmektedir. Böylece strütür elemanlarının yüzeylerinde koyu kırmızımsı kahve renkte kıl + demir kaynakları görülebilmektedir. Bu durum özellikle T.P. - 93'te ve diğer Boz - Esmer Orman Topraklarının birikme horizonlarında tarafımızdan gözlenmiştir.

#### **Demirin aktifliği :**

Topraklaşmış demirin aktifliği, topraktaki yılanma olayının aktifliğinin saptanması için bir ölçük olarak kullanılmaktadır<sup>10</sup>. Topraklaşmış demirin aktiflik ölçüsü, amorf demir fraksiyonunun, topraklaşmış demir fraksiyonuna oranı ( $Fe_{\text{a}}/Fe_{\text{s}}$ ) ile bulunmaktadır. Özellikle organik maddenin bol olduğu horizonlarda demirin aktiflik derecesi artmaktadır. İncelediğimiz profillerde de A<sub>b</sub> horizonlarında aktiflik yüksek derecededir ( $Fe_{\text{a}}/Fe_{\text{s}} > \% 60$ , Tablo 2 - 8 ve Şekil 2 - c). Diğer yandan Esmer Orman Topraklarında aktiflik derecesinin yüksek olduğu anlaşılmaktadır ( $Fe_{\text{a}}/Fe_{\text{s}} > \% 60$ , Tablo 2 - 8 ve Şekil 2 - c). Solgun - Esmer Orman Topraklarında orta derecede bir aktiflik görülmektedir ( $Fe_{\text{a}}/Fe_{\text{s}} \% 20 - 60$  arasında). Boz - Esmer Orman Topraklarının A<sub>b</sub> horizonlarında (T.P. - 9'da A<sub>c1</sub>'de) aktiflik oranı yüksek bulunmuştur. Boz - Esmer Orman Topraklarının daha alt horizonlarında aktiflik derecesi Solgun - Esmer Orman Toprakları seviyesinde bulunmuştur. İlgi çekici bulgu Podsol - Esmer Orman Toprağında üst toprak horizonlarında (A<sub>b</sub>, A<sub>c</sub>, A - B) aktiflik derecesinin yüksekliğidir. Ortamin asitleşmesi demirin aktifleşmesini bununla birlikte yılanmayı artırmaktadır. Podsolleşme için tipik olan bu olay incelediğimiz Podsol - Esmer Orman Toprağında da görülmektedir (Tablo 2 - 8 ve Şekil 2 - c, karşılaştırınız BLUME - SCHWERTMANN 1969).

Ayrıca iki değerli katyonların (Ca, Mg) total ve mübadele edilebilir fraksiyonlarının da toprak tipleri arasında belirgin farklar gösterdiği Tablo 2 - 8 ve Şekil 3'ün incelenmesinden anlaşılmaktadır.

Yukarıdan beri incelenen örnek toprak tiplerinde sonuca varmak için önemli bir hususun hatırlanması gerekmektedir. Çok yaygın olarak kullanılan podsol, podsolleşmiş, podsilik tanımlamalarının sınırları nereden başlamaktadır? Toprak genetikinde podsolleşme deyimi toprak reaksiyonunun çok asit olduğu ve kil mineralinin tahrib edildiği ortamlar için kullanılmaktadır (MÜCKENHAUSEN, E. 1966 sh. 94, 95, 96, 97). 0.1 N KCl'de ölçülen pH derecesinin 4.5'tan aşağı düşüğü topraklarda kılın taşınıp birikmesi duraklamakta ve podsolleşme başlamaktadır. Kil bölümünün taşınma ve birikme olayı pH 4.5 - 6.5 arasında gerçekleşmektedir. Kılın taşınma ve birikmesi için optimum pH sınırlarının 5.0 - 6.5 arasında olduğu bildirilmektedir (SCHEFFER - SCHACHTSCHABEL 1970 sh. 334 - 383). İlman iklimlerde pH değerinin 4.5 - 5.0 arasında olduğu topraklarda kılın taşınması ile podsolleşmenin birlikte yürüdüğü ifade edilmiştir (MÜCKENHAUSEN 1966 sh. 82). Esmer Orman Toprağından gelişen ve kil bölümünün taşınp birikmesi ile ilerleyen genetik toprak gelişim sırası ile gene Esmer Orman Toprağından başlayan fakat asit ortamda kil mineralinin tahribi ile ilerleyen genetik toprak gelişim sırasını birbirinden ayırmak gereklidir. Birincisinde kıl tanelerini bağlayabilen katyonların (Ca, Fe, Al gibi) daha fazla bulunduğu ve toprak asitliğinin (anataş, iklim ve bitki örtüsüne bağlı olarak) çok şiddetli olmadığı bazlarca zengin Esmer Orman Toprağı bahis konusudur. Bazlarca zengin Esmer Orman Toprağından aşağıdaki sıraya göre bir gelişim beklenmektedir (MÜCKENHAUSEN, E. 1966 sh. 94, 95, 96, 97).

Esmer Orman Toprağı → Solgun - Esmer Orman Toprağı → Boz - Esmer Orman Toprağı → podsolumü Boz - Esmer Orman Toprağı → Podsol  
(pH 4.5'tan aşağı düşüğü topraklarda)

İkincisinde kıl tanelerini bağlayabilen katyonların daha az bulunduğu ve toprak asitliğinin kil mineralinin tahribini sağlayacak kadar şiddetli olduğu bazlarca fakir Esmer Orman Toprağı bahis konusudur. Bazlarca fakir Esmer Orman Toprağından aşağıdaki sıraya göre bir gelişim beklenmektedir (MÜCKENHAUSEN, E. 1966 sh. 94, 95, 96, 97).

Esmer Orman Toprağı → podsolumüsü Esmer Orman Toprağı → Podsol - Esmer Orman Toprağı → Esmer Orman Toprağı podsolu → Podsol

Bazlarca zengin Esmer Orman Toprağı Orta Avrupa'daki koşullarda Pararendsina'dan gelişmektedir (örneğin Lős anamateryalinden). Bazlarca fakir Esmer Orman Toprağı ise Ranker'den gelişmektedir (MÜCKENHAUSEN, E. 1966, sh. 94, 95, 96, 97). Toprak örneklerimizi aldığımız sahada (Yıldız Dağlık Bölgesinde) Esmer Orman Toprakları kloritli sistlerden oluşmuşlar ve Ranker'den gelişmişlerdir. Bu Esmer Orman Topraklarından Orta Avrupa koşullarında Podsol - Esmer Orman Topraklarının gelişmesi beklenirdi. Halbuki Kuzey Trakya Dağlık Orman Yetişme Bölgesinde incelediğimiz topraklarda kil mineralinin tahribi yerine, taşınp birikmesi olayı ile karşılaşıyoruz. Bu durumu, anataşta bulunan yüksek demir muhtevası, iklimin Orta Avrupa'ya nazaran daha ılıman oluşu ve yapraklı ağaçlardan oluşan bir orman toplumuna bağlayarak açıklamak mümkün görülmektedir. Diğer taraftan Ca, ve Mg, yanında demir miktarı da çok düşük olan kuvars - serisit anataşından oluşmuş toprakta (T.P. - 58) meşe + kayın + orman gülü bitki toplumu altında ve nemli - serin bir iklim etkisinde Esmer Orman Toprağından Podsol - Esmer Orman Toprağı gelişmiştir.

Arazi ve laboratuvardaki incelemeler sonucunda örnek olarak seçilen toprakları şu genetik gelişim sıralarına koymak mümkündür.

Ranker → Esmer Orman Toprağı → Solgun - Esmer Orman Toprağı →  
T.P. - 121 ve 122                            T.P. - 61 ve 120

Boz - Esmer Orman Toprağı → podsolümsü Boz - Esmer Orman Toprağı → Podsol  
T.P. - 9                                         T.P. - 93

Ranker → Esmer Orman Toprağı → podsolümsü Esmer Orman Toprağı →  
Podsol - Esmer Orman Toprağı → Esmer Orman Toprağı podsolu → Podsol  
T.P. - 58

Arazi incelemelerimizde kuvars - serisit şistlerden oluşan topraklarda Esmer Orman Toprağına ve podsolümsü Esmer Orman Toprağına örnek bulamadık. T.P. - 58 numaralı toprağın tipik podsol olarak tanımlanması da yüksek baz doygunluğu oranları nedeni ile uygun bulunmamıştır. Diğer taraftan kalın ve belirgin bir yakanma horizonunun varlığı bu toprağın podsolümsü değil Podsol - Esmer Orman Toprağı olarak tanımlanmasını gerektirmektedir (MÜCKENHAUSEN, E. 1962 - 1966 da genetik toprak sistematığı için verilen esaslara göre).

Sonuç olarak toprakların yakanma ve birikme horizonlarının incelenmesinde kullandığımız metod sisteminin ilginç ve sonuca götürücü bulguları verdiği anlaşılmaktadır. Elde edilen bulgulara göre İlman bölgelerimizde silikat anataşlarından oluşan toprakların genetik gelişimlerinin değerlendirilmesi mümkün görülmektedir. Bu inceleme için seçilen örnekler özellikle ince kristalli şistlerden alınmışlardır. Aynı bölgede bulunan granit, gnays gibi anataşlardan ve pliosen tortullarından oluşan toprakların incelemesine devam etmekteyiz. Aynı şekilde bahis konusu metod sisteminin kireç taşlarından veya kireçli materyallerden oluşmuş ve daha kurak iklimler altında gelişmiş topraklar için vereceği sonuçları da incelemekteyiz.

Tablo 1.

Toprakların oluştugu anataslarda bulunan ve demir ihtiva eden minarallerden bazıları

#### Mağmatik taşlarda bulunanlar :

Magnetit	$\text{Fe}_3\text{O}_4$	
Ilmenit	$\text{FeTiO}_3$	
Pirit	$\text{FeS}_2$	
Piroksen grubu	Hipersten	$(\text{Mg}, \text{Fe})\text{SiO}_4$
	Hedenbergit	$\text{CaFe}^{+2}\text{Si}_2\text{O}_6$
	Ojit	$(\text{Na}, \text{Ca})(\text{Mg}, \text{Fe}, \text{Al})(\text{Si}, \text{Al})_2\text{O}_6$
Amfibol grubu	Tremolit	$\text{Ca}_2(\text{Mg}, \text{Fe})_3(\text{Si}_4\text{O}_{11})_2(\text{OH})_2$
	Hornblend	$\text{Ca}_2(\text{Mg}, \text{Fe}, \text{Al})_3(\text{Si}, \text{Al})_2\text{O}_{12}(\text{OH})_2$
Olivin grubu	Fayalit	$\text{Fe}_2\text{SiO}_4$
	Olivin	$(\text{Mg}, \text{Fe})_2\text{SiO}_4$
Mika grubu	Biyotit	$\text{K}(\text{Mg}, \text{Fe}^{+2}, \text{Mn}^{+2})_3(\text{Si}, \text{Al})\text{O}_{10}(\text{OH})_2$

#### Tortul materyallerde bulunanlar :

(Yukarıdakilerden bazıları da bulunabilir.)

Ankerit	$\text{Ca}(\text{Mg}, \text{Fe}, \text{Mn})(\text{CO}_3)_2$
Siderit	$\text{FeCO}_3$
Limonit	$\text{H}_6\text{Fe}_4\text{O}_9$
Vivianit	$\text{Fe}_3(\text{PO}_4)_2 \cdot 8\text{H}_2\text{O}$
Glaukonit	Muhtelif miktarlarda $\text{FeO}$ , $\text{Fe}_2\text{O}_3$ , $\text{Al}_2\text{O}_3$ , $\text{MgO}$ , $\text{CaO}$ , $\text{K}_2\text{O}$ bulunur.

#### Metamorf taşlarda bulunanlar :

(Yukarıdakilerden bazıları da bulunabilir.)

Granat	$(\text{Ca}, \text{Mg}, \text{Fe}^{+2}, \text{Mn})_3(\text{Al}, \text{Fe}^{+3}, \text{Cr}^{+3})_2(\text{SiO}_4)_3$
Stavrolit	$\text{Al}_4(\text{SiO}_5)_2\text{Fe}(\text{OH})_2$
Epidot	$\text{Ca}_2(\text{Al}, \text{Fe}^{+3})_3\text{Si}_2\text{O}_{12}(\text{OH})_2$
Kloritoid	$\text{Fe}_2\text{Al}_2(\text{Al}_2\text{Si}_2\text{O}_{10})(\text{OH})_4$
Almandit	$\text{Fe}_3\text{Al}_2(\text{SiO}_4)_3$

Tablo 2-a

Toprak No. : T.P. 121

İnceleme tarihi : 22.11.1972

Yer : Demirköy - Yeniceköy arasında

Kardeşlik çeşmesi batısındaki yamaç

Yeryüzü şekli : Orta yamaç

Yükselti : 780m. Bakı : Doğu Eğim : % 40

Mesçere ve kapalılığı : Korusu, 10

Hakim ağaç : *Fagus orientalis Lipsky* 5

Karışan ağaç : —

Çalılar : *Rhododendron ponticum L.* 2

Anataş : Klorit şist

Toprak tipi : Esmer Orman Toprağı (Braunerde)

Dis toprak hali : Ölü örtü ile kaplı

Yaprak tabakası (L) : 2 cm. Kazı derinliği : 100 cm.

Çürüntülü tabakası (F) : 1 cm. Fizyolojik derinlik : 100 cm.

Humus tabakası (H) : 0,5 cm. Drenaj : Serbest

Humus tipi : Çürüntülü mull

Toprak horizonları :

0 — 6 A<sub>1</sub> : Kuru halde humus etkisi ile çok koyu esmer (10 YR 3/1) renktedir. Balçık tekstüründe, kırıntılı strüktüre sahip, sıkıca, % 33 taşlı, inceleme anında nemli, geçirgen, renk lekesi yok, CaCO<sub>3</sub> yok, kökler pek sık derecede.

6 — 40 B<sub>1</sub> : Kuru halde esmer (10 YR 4/3) renktedir. Balçıklı kil tekstüründe, ince - orta çapta köşeli topaklı strüktüre sahip, sıkı, % 68 taşlı, inceleme anında nemli, geçirgen, renk lekesi yok, CaCO<sub>3</sub> yok, kökler pek sık derecede.

40 — 90 B - C : Kuru halde sarımsı kahve (10 YR 5/4) renktedir. Balçıklı kil tekstüründe, orta çapta köşeli topaklı strüktüre sahip, sıkı, % 52 taşlı, inceleme anında nemli, geçirgen, renk lekesi yok, CaCO<sub>3</sub> yok, kökler sık derecede.

90 — C<sub>1</sub> : Toprak ve kökler dar anataş çatlakları arasında bulunuyor. CaCO<sub>3</sub> yok.

Table 2 - b

Toprak No. T.P. 121

		Horizonlar		
		Ah	Bv	B - C
Derinlik (Tiefe)	cm	0 - 6	6 - 40	40 - 90
Renk (Farbe)		10 YR 3/1	10 YR 4/3	10 YR 5/4
Ince toprak (Feinerde)	gr/lt	439	427	785
Taş ve çakıl (Skelet)	gr/lt	220	889	853
Taşlılık (Skeletanteil)	%	33	68	52
Kil (Ton)	gr/lt	61	124	236
Kum (Sand)	% gr	63	42	51
Toz (Schluff)	% gr	23	29	19
Kil (Ton)	% gr	14	29	30
Toprak türü (Bodenart)		B(L)	BK(1T)	BK(1T)
pH	H <sub>2</sub> O	6.4	6.2	6.1
	KCl	5.8	5.7	5.7
CaCO <sub>3</sub>	% gr	—	—	—

## Total maddeler %

Ct	% gr	13.40	2.58	1.10
Organik mad.	% gr	23.05	4.44	1.89
Nt	% mg	706	170	129
Pt	% mg	52.14	22.24	16.03
Kt	% gr	1.948	2.436	2.430
Nat	% gr	0.722	1.030	2.258
Cat	% gr	0.675	0.230	0.434
Mgt	% gr	0.735	0.746	0.830
Fet	% gr	3.862	4.920	5.376
C/N		19	15	8.5

## Mübadele edilebilir katyonlar ve diğer maddeler %

K+	% mg	65.44	23.46	20.93
	% me	1.67	0.59	0.53
Na <sup>+</sup>	% mg	10.13	7.65	8.68
	% me	0.44	0.34	0.38
Ca <sup>++</sup>	% mg	341.75	60.19	67.39
	% me	17.09	3.01	3.37
Mg <sup>++</sup>	% mg	50.38	8.67	8.17
	% me	4.14	0.71	0.67
S	% me	23.34	4.65	4.95
T	% me	197.32	25.17	18.50
V	%	12	19	27
Fe <sub>d</sub>	% mg	1323	1751	1951
Fe <sub>e</sub>	% mg	1124	1459	1272
Fe <sub>e</sub> /Fe <sub>d</sub>	%	85	83	65
Fe <sub>t</sub> -Fe <sub>d</sub>	% mg	2539	3169	3425

Tablo 3 a

Toprak No. T.P. 122

İnceleme tarihi : 23.11.1972

Yer : Sergen - Demirköy yolunda  
eskiyol - yenyol kavşağından  
500 m. Sergen yönünde  
(Kaşağan pınarından Sergen yönünde)

Yeryüzü şekli : Orta yamaç

Yükselti : 680 m. Bakı : Doğu - Güneydogu Eğim : % 40

Meşcere ve kapalılığı : Baltalık, 10

Hakim ağaç : Quercus dschorochensis K. Koch 4

Karısan ağaç : Quercus cerris L. 1

Çahılar : —

Anataş : Klorit sist

Toprak tipi : Esmer Orman Toprağı (Braunerde)

Dis toprak hali : Yeşillenmiş

Yaprak tabakası (L) : 2 cm. Kazı derinliği : 70 cm.

Çürüntü tabakası (F) : — Fizyolojik derinlik : 70 cm

Humus tabakası (H) : 0,2 cm. Drenaj : Serbest

Humus tipi : Mull

Toprak horizonları :

0—10 A<sub>1</sub> : Kuru halde humus etkisi ile çok koyu esmer (10 YR 3/2) renktedir. Killi balçık tekstüründe, kırıntılı strüktüre sahip, sıkıca, % 27 taşlı, inceleme anında nemli, geçirgen, renk lekesi yok, CaCO<sub>3</sub> yok, kökler pek sık derecede.

10—40 B : Kuru halde esmer (10 YR 4/3) renktedir. Balçıklı kil tekstüründe, ince - orta çapta köşeli topaklı strüktüre sahip, sıkı, % 65 taşlı, inceleme anında nemli, geçirgen, renk lekesi yok, CaCO<sub>3</sub> yok, kökler pek sık derecede.

40—60 B - C : Kuru halde sarımsı kahve (10 YR 5/4) renktedir. Balçıklı kil tekstüründe, orta çapta köşeli topaklı strüktüre sahip, sıkı, % 67 taşlı, inceleme anında nemli, geçirgen, renk lekesi yok, CaCO<sub>3</sub> yok, kökler sık derecede.

60—70 C<sub>1</sub> : Ufalannuş anataş zonu, % 95 taşlı, toprak ve kökler taş çatlakları arasında, CaCO<sub>3</sub> yok.

Tablo 2 - b

Toprak No. T.P. 121

		Horizontalar		
		Ah	Bv	B - C
Derinlik (Tiefe)	cm	0 - 6	6 - 40	40 - 90
Renk (Farbe)		10 YR 3/1	10 YR 4/3	10 YR 5/4
Ince toprak (Feinerde)	gr/lt	439	427	785
Taş ve çakıl (Skelet)	gr/lt	220	889	853
Tashılık (Skeletanteil)	%	33	68	52
Kil (Ton)	gr/lt	61	124	236
Kum (Sand)	% gr	63	42	51
Toz (Schluff)	% gr	23	29	19
Kil (Ton)	% gr	14	29	30
Toprak türü (Bodenart)		B(1.)	BK(1T)	BK(1T)
pH	H <sub>2</sub> O	6.4	6.2	6.1
	KCl	5.8	5.7	5.7
CaCO <sub>3</sub>	% gr	—	—	—
Total maddeler %				
Ct	% gr	13.40	2.50	1.10
Organik mad.	% gr	23.05	4.44	1.89
Nt	% mg	706	170	129
Pt	% mg	52.14	22.24	16.03
Kt	% gr	1.948	2.436	2.430
Nat	% gr	0.722	1.030	2.258
Cat	% gr	0.675	0.230	0.434
Mgt	% gr	0.735	0.746	0.830
Fet	% gr	3.862	4.920	5.376
C/N		19	15	8.5
Mübadele edilebilir katyonlar ve diğer maddeler %				
K <sup>+</sup>	% mg	65.44	23.46	20.93
	% me	1.67	0.59	0.53
Na <sup>+</sup>	% mg	10.13	7.65	8.68
	% me	0.44	0.34	0.38
Ca <sup>++</sup>	% mg	341.75	60.19	67.39
	% me	17.09	3.01	3.37
Mg <sup>++</sup>	% mg	50.38	8.67	8.17
	% me	4.14	0.71	0.67
S	% me	23.34	4.65	4.95
T	% me	197.32	25.17	18.50
V	%	12	19	27
Fe <sub>d</sub>	% mg	1323	1751	1951
Fe <sub>e</sub>	% mg	1124	1459	1272
Fe <sub>e</sub> /Fe <sub>d</sub>	%	85	83	65
Fe <sub>e</sub> -Fe <sub>d</sub>	% mg	2539	3169	3425

Tablo 3 a

**Toprak No. T.P. 122**

İnceleme tarihi : 23.11.1972

Yer : Sergen - Demirköy yolunda  
eskiyol - yeniyol kavşağından  
500 m. Sergen yönünde  
(Kaşağan pınarından Sergen yönünde)

Yeryüzü şekli : Orta yamaç

Yükselti : 680 m. Bakı : Doğu - Güneydoğu Eğim : % 40

Mesçere ve kapalılığı : Baltalık, 10

Hakim ağaç : *Quercus dschorochensis* K. Koch 4

Karişan ağaç : *Quercus cerris* L. 1

Çahılar : —

Anataş : Klorit şist

Toprak tipi : Esmer Orman Toprağı (Braunerde)

Dış toprak hali : Yeşillenmiş

Yaprak tabakası (L) : 2 cm. Kazı derinliği : 70 cm.

Çürüntü tabakası (F) : — Fizyolojik derinlik : 70 cm.

Humus tabakası (H) : 0,2 cm. Drenaj : Serbest

Humus tipi : Mull

Toprak horizonları :

0 — 10 A<sub>b</sub> : Kuru halde humus etkisi ile çok koyu esmer (10 YR 3/2) renktedir. Killi balık tekstüründe, kırıntılı strüktüre sahip, sıkıca, % 27 taşlı, inceleme anında nemli, geçirgen, renk lekesi yok, CaCO<sub>3</sub> yok, kökler pek sık derecede.

10 — 40 B : Kuru halde esmer (10 YR 4/3) renktedir. Balıkçı kil tekstüründe, ince - orta çapta köşeli topaklı strüktüre sahip, sıkı, % 65 taşlı, inceleme anında nemli, geçirgen, renk lekesi yok, CaCO<sub>3</sub> yok, kökler sık derecede.

40 — 60 B - C : Kuru halde sarımsı kahve (10 YR 5/4) renktedir. Balıkçı kil tekstüründe, orta çapta köşeli topaklı strüktüre sahip, sıkı, % 67 taşlı, inceleme anında nemli, geçirgen, renk lekesi yok, CaCO<sub>3</sub> yok, kökler sık derecede.

60 — 70 C : Ufalanmış anataş zonu, % 95 taşlı, toprak ve kökler taş çatlakları arasında, CaCO<sub>3</sub> yok.

Tablo 4 - b

Toprak No. T.P. 61

		Horizonlar					
	Ah	Ael	A - B	Bts	B - C	Cv	
Derinlik (Tlefe) cm	0 - 3	3 - 23	23 - 35	35 - 55	55 - 90	90 - 140	
Renk (Farbe)	10 YR 3/2	10 YR 5/4	10 YR 5/4	10 YR 4/4	10 YR 5/6	10 YR 5/6	
Ince toprak (Feinerde)	gr/lt	395	461	663	609	607	457
Taş ve çakıl (Skelet)	gr/lt	150	655	623	593	738	866
Taşlılık (Skeletanteil)	%	28	59	48	42	55	65
Kil (Ton)	gr/lt	83	115	192	299	182	119
Kum (Sand)	% gr	53	46	47	42	40	53
Toz (Schluff)	% gr	26	29	24	21	30	21
Kil (Ton)	% gr	21	25	29	37	30	26
Toprak türü (Bodenart)		BK(1T)	BK(1T)	BK(1T)	BK(1T)	BK(1T)	BK(1T)
pH	H <sub>2</sub> O	6.1	5.0	5.4	5.3	5.2	5.0
	KCl	5.0	4.2	4.1	4.2	4.0	4.3
CaCO <sub>3</sub>	% gr	—	—	—	—	—	—
		Total maddeler				%	
Ct	% gr	15.73	5.73	1.23	0.88	0.60	0.88
Organik mad.	% mg	27.10	9.90	2.12	1.50	1.03	1.51
Nt	% mg	540	180	170	100	60	90
Pt	% gr	81.40	62.30	56.90	60.10	68.20	104.20
Kt	% gr	2.540	2.916	2.952	2.916	3.014	3.265
Nat	% gr	0.981	1.166	1.145	0.958	1.007	1.007
Cat	% gr	0.280	0.168	0.122	0.152	0.153	0.153
Mgt	% gr	0.493	0.497	0.433	0.404	0.420	0.370
Fet		4.627	5.231	5.557	5.896	6.049	6.716
C/N		29	32	7	8	10	10
		Mübadele edilebilir katyonlar ve diğer maddeler				%	
K <sup>+</sup>	% mg	46.70	30.05	23.41	22.05	20.60	22.44
	% me	1.19	0.76	0.60	0.57	0.53	0.57
Na <sup>-</sup>	% mg	9.08	7.89	7.63	7.60	8.90	8.76
	% me	0.39	0.35	0.34	0.33	0.39	0.38
Ca <sup>++</sup>	% mg	157.73	54.50	48.09	43.08	41.19	44.33
	% me	7.89	2.73	2.40	2.16	2.06	2.22
Mg <sup>++</sup>	% mg	35.28	11.46	8.14	5.57	5.34	4.93
	% me	2.91	0.95	0.67	0.46	0.44	0.40
S	% me	12.38	4.79	4.01	3.52	3.42	3.57
T	% me	113.28	20.46	12.89	11.07	8.88	8.96
V	%	11	23	31	32	29	40
Fe <sub>d</sub>	% mg	1882	2030	2289	2823	2859	2514
Fe <sub>e</sub>	% mg	867	1051	862	961	820	615
Fe <sub>e</sub> /Fe <sub>d</sub>	%	46	52	38	34	29	18
Fe <sub>t</sub> -Fe <sub>d</sub>	% mg	2745	3192	3268	3073	3190	4202
Kil (Ton) A <sub>el</sub> /B <sub>is</sub> =0,68							
Fe <sub>d</sub> A <sub>el</sub> /B <sub>is</sub> =0,72							

Tablo 5 - a

Toprak No. T.P. 120

İnceleme tarihi : 22.11.1972

Yer : Balaban (Velika) köprüsü ile  
Kardeşlik çeşmesi arasında  
yolun batısındaki sırt

Yeryüzü şekli : Orta yamaç

Yükselti : 600 m. Bakı : Güneybatı. Eğimi : % 33

Meşcere ve kapalılığı : Kuru, 10

Hakim ağaç : Fagus orientalis Lipsky. 4

Karışan ağaç : Quercus dschorochensis K. Koch 1

Çahılar : Rhododendron ponticum L. 3

Anataş : Klorit şist

Toprak tipi : Solgun - Esmer Orman Toprağı (Parabraunerde)

Diş toprak hali : Ölü örtü ile kaplı

Yaprak tabakası (L) : 2 cm Kazı derinliği : 110 cm.

(Orman gülleri altında 10 cm) Fizyolojik derinlik : 100 cm.

Çürüntü tabakası (F) : 2 cm. Drenaj : Serbest

Humus tabakası (H) : 0,5 cm.

Humus tipi : Çürüntülü mull

Toprak horizonları :

- 0 --- 4 A<sub>h</sub> : Kuru halde humus etkisi ile çok koyu esmer (10 YR 3/2) renktedir. Balıklı kıl tekstüründe, kırıntılı strüktüre sahip, gevşek, % 38 taşlı, inceleme anında nemli, geçirgen, renk lekesi yok, CaCO<sub>3</sub> yok, kökler pek sık derecede.
- 4 --- 25 A<sub>1</sub> : Kuru halde açık sarımı (solğun) kahve (10 YR 6/4) renktedir. Balıklı kıl tekstüründe, ince - orta çapta köşeli topaklı strüktüre sahip, sıkı, % 41 taşlı, inceleme anında nemli, geçirgen, renk lekesi yok, CaCO<sub>3</sub> yok, kökler sık derecede.
- 25 --- 39 A - B : Kuru halde sarımı kahve (10 YR 5/6) renktedir. Balıklı kıl tekstüründe, ince - orta çapta köşeli topaklı strüktüre sahip, sıkı, % 50 taşlı, inceleme anında nemli, geçirgen, renk lekesi yok, kökler sık derecede.
- 39 --- 60 B<sub>1</sub> : Kuru halde kırmızımsı kahve (7,5 YR 5/6) renktedir. Balıklı kıl tekstüründe, ince - orta çapta köşeli topaklı strüktüre sahip, topakların yüzeylerinde kıl kaymakları var, sıkı, % 48 taşlı, inceleme anında nemli, geçirgen, renk lekesi yok, CaCO<sub>3</sub> yok, kökler sık derecede.
- 60 --- 102 B - C : Kuru halde kırmızımsı sarı (7,5 YR 6/6) renktedir. Balıklı kıl tekstüründe, ince - orta çaplı köşeli topaklı strüktüre sahip, sıkı, % 51 taşlı, inceleme anında nemli, geçirgen, renk lekesi yok, CaCO<sub>3</sub> yok, kökler orta derecede.
- 102 --- C : Kuru halde kırmızımsı sarı (7,5 YR 6/6), renktedir. Balıklı kıl tekstüründeki toprak anatasın çatlakları arasında bulunmaktadır. % 90 taşlı, CaCO<sub>3</sub> yok, kökler taş çatlakları arasında ve seyrek derecede.

Tablo 5 - b

## Toprak No. T.P. 120

		Ah	Ael	A - B	Bts	B - C
Derinlik (Tiefe)	cm	0 - 4	4 - 25	25 - 39	39 - 60	60 - 102
Renk (Farbe)		10 YR 3/2	10 YR 6/4	10 YR 5/6	7.5 YR 5/6	7.5 YR 6/6
İnce toprak (Feinerde)	gr/lt	543	703	721	808	700
Taş ve çakıl (Skelet)	gr/lt	334	481	715	760	740
Taşlılık (Skeletanteil)	%	38	41	50	18	51
Kil (Ton)	gr/lt	152	218	216	315	217
Kum (Sand)	% gr	46	42	41	37	41
Toz (Schluff)	% gr	26	27	29	24	28
Kil (Ton)	% gr	28	31	30	39	31
Toprak türü (Bodenart)		BK(1T)	BK(1T)	BK(1T)	BK(1T)	BK(1T)
pH	H <sub>2</sub> O	5.8	5.5	5.6	5.7	5.7
	KCl	4.6	4.6	4.8	5.2	5.4
CaCO <sub>3</sub>	% gr	--	--	--	--	--

## Total maddeler %

Ct	% gr	6.11	5.58	3.34	2.26	1.15
Organik mad.	% gr	10.50	9.60	5.70	3.90	1.98
Nt	% mg	273	183	106	77	82
Pt	% mg	46.35	41.75	36.07	39.50	38.00
Kt	% gr	3.372	3.607	3.693	3.681	3.861
Nat	% gr	0.792	1.115	1.065	1.026	1.118
Cat	% gr	0.276	0.174	0.163	0.178	0.178
Mgt	% gr	0.755	0.640	0.726	0.833	0.833
Fet	% gr	5.079	5.268	5.663	6.270	6.313
C/N		22	30	32	29	14

## Mübadele edilebilir katyonlar ve diğer maddeler %

K <sup>+</sup>	% mg	52.08	37.86	22.41	23.86	23.37
	% me	1.33	0.97	0.57	0.61	0.60
Na <sup>+</sup>	% mg	9.90	9.72	7.64	8.63	8.13
	% me	0.43	0.42	0.33	0.38	0.36
Ca <sup>++</sup>	% mg	128.65	75.97	40.75	43.16	41.65
	% me	6.44	3.80	2.04	2.16	2.08
Mg <sup>++</sup>	% mg	17.19	10.44	2.04	1.27	1.26
	% me	1.42	0.86	0.16	0.10	0.10
S	% me	9.62	6.05	3.10	3.25	
T	% me	63.69	32.40	10.90	8.89	6.88
V	%	15	19	28	37	
Fe <sub>d</sub>	% mg	1580	1706	1764	1970	1882
Fe <sub>e</sub>	% mg	791	839	991	547	649
Fe <sub>e</sub> /Fe <sub>d</sub>	%	50	49	56	28	34
Fe <sub>t</sub> -Fe <sub>d</sub>	% mg	3499	3562	3899	4300	4431

Kil (Ton) A<sub>s1</sub>/B<sub>s1</sub>=0,79Fe<sub>d</sub> A<sub>s1</sub>/B<sub>s1</sub>=0,87

Tablo 6-a

Toprak No. T.P. 9

İnceleme tarihi : 23.2.1969

Yer : Çilingoz - Çamlıkoy (Kasatura) arasında  
Beytepe'nin doğu yamacında

Yeryüzü şekli : Orta yamaç

Yükselti : 235 m. Bakı : Doğu Eğim : % 7

Meşcere ve kapalılığı : Baltalık, 9

Hakim ağaç : Quercus dschorochensis K. Koch 5

Karışan ağaç : Sorbus torminalis L. 2

: Sorbus aucuparia L. +

Anataş : Serisit şist

Toprak tipi : Boz - Esner Orman Toprağı (Fahlerde)

Dış toprak hali : Yeşillenmiş

Yaprak tabakası (L) : 3 cm. Kazı derinliği : 110 cm.

Çürümü tabakası (F) : — Fizyolojik derinlik : 90 cm.

Humus tabakası (H) : 0,2 cm. Drenaj : Serbest

Humus tipi : Mull

Toprak horizonları :

0 — 7 A<sub>1</sub> : Kuru halde humus etkisi ile çok koyu esmer (10 YR 3/2) renktedir. Killi balçık tekstüründe, kırıntılı strütüre sahip, gevrek, % 9 taşlı, inceleme anında pek kuru, geçirgen, lekelenme yok, CaCO<sub>3</sub> yok, kökler pek sık derecede.

7 — 27 A<sub>1</sub> : Kuru halde çok solgun kahve (bozumsu) (10 YR 7/3) renktedir. Kumlu kil tekstüründe, ince ve orta çapta yarı köşeli topaklı Kumlu kil tekstüründe, ince ve orta çapta yarı köşeli topaklı strütüre sahip, gevrek, % 7 taşlı, inceleme anında pek kuru, geçirgen, renk lekesi yok, CaCO<sub>3</sub> yok, kökler sık derecede.

27 — 32 A - B<sub>1</sub> : Kuru halde kahvemsi sarı (10 YR 6/6) renktedir. Balçıklı kil tekstüründe, ince ve orta çapta yarı köşeli topaklı strütüre sahip, sıkı, % 12 taşlı, inceleme anında kuru, geçirgen, renk lekesi yok, CaCO<sub>3</sub> yok, kökler sık derecede.

32 — 53 B<sub>1</sub> : Kuru halde kırmızımsı kahve (7.5 YR 5/6) renktedir. Kil tekstüründe, köşeli topaklı ve ince çapta prizmatik strütüre sahip, strütür elemelerinin yüzeyinde kil kaymakları var, pek sıkı, % 5 taşlı, inceleme anında kuru, geçirgen, renk lekesi yok, CaCO<sub>3</sub> yok, kökler sık derecede.

53 — 68 B - C<sub>1</sub> : Kuru halde kırmızımsı sarı (7.5 YR 6/8) renktedir. Balçıklı kil tekstüründe, köşeli topaklı (orta) strütüre sahip, sıkı, % 2 taşlı, inceleme anında tazece, geçirgen, renk lekesi yok, CaCO<sub>3</sub> yok, kökler orta derecede.

68 — 110 C<sub>1</sub> : Kuru halde açık kırmızımsı sarı (7.5 YR 7/8) renktedir. Kumlu killi balçık tekstüründe, ufanmış şist zonu olduğu için strütür yaprağımsı ve taneli, sıkışmış, % 36 taşlı, inceleme anında tazece, geçirgen, renk lekesi yok, CaCO<sub>3</sub> yok, kökler seyrek derecede.

Not : Kök sıklığı meşe dibinden 50 cm. uzaklıkta incelenmiştir.

Tablo 6 - b

Toprak No. T.P. 9

		Horizontlar					
		Ah	Ael	A + B	Bts	B - C	Cv
Derinlik (Tiefe) cm	0 - 7	7 - 27	27 - 32	32 - 53	53 - 68	68 - 110	
Renk (Farbe)	16 YR 3/2	10 YR 7/3	16 YR 6/6	7.5 YR 5/6	7.5 YR 6/8	7.5 YR 7/8	
Ince toprak (Feinerde)	gr/lt	781	1007	1123	1362	1286	960
Taş ve çaklı (Skelet)	gr/lt	80	75	160	65	25	530
Taşlılık (Skeletanteil)	%	9	7	12	5	2	36
Kil (Ton)	gr/lt	148	292	382	640	437	238
Kum (Sand)	% gr	55	62	55	29	36	73
Toz (Schluff)	% gr	26	9	11	24	30	11
Kil (Ton)	% gr	19	29	34	47	31	16
Toprak türü (Bodenart)		KB(tL)	KuK(sT)	KB(tL)	K(T)	BK(1T)	KuKB (stL)
pH	H <sub>2</sub> O	6.1	5.4	5.3	5.5	5.0	5.0
	KCl	5.4	4.4	4.5	4.7	4.8	4.9
CaCO <sub>3</sub>	% gr						
		Total maddeler %					
Ct	% gr	4.29	1.12	2.54	0.58	0.19	0.19
Organik mad.	% gr	7.40	1.90	4.37	1.00	0.33	0.33
Nt	% mg	120	100	160	100	80	90
Pt	% mg	34.30	34.90	19.40	12.80	49.70	58.50
Kt	% gr	0.804	0.795	0.964	1.781	1.442	3.999
Nat	% gr	0.287	0.253	0.257	0.207	0.405	0.428
Cat	% gr	0.169	0.096	0.101	0.114	0.072	0.077
Mgt	% gr	0.123	0.159	0.114	0.194	0.115	0.191
Fet	% gr	1.266	1.448	2.078	4.085	3.202	3.435
C/N		20	11	24	6	2	2
		Mübadele edilebilir katyonlar ve diğer maddeler %					
K <sup>+</sup>	% mg	46.07	31.11	27.14	27.17	23.35	20.91
	% me	1.18	0.80	0.69	0.69	0.60	0.53
Na <sup>+</sup>	% mg	10.75	10.63	10.15	14.49	11.29	9.95
	% me	0.47	0.47	0.44	0.65	0.49	0.43
Ca <sup>++</sup>	% mg	100.84	48.61	43.13	40.63	39.51	38.76
	% me	5.05	2.43	2.16	2.03	1.93	1.91
Mg <sup>-+</sup>	% mg	38.13	15.95	11.16	22.26	8.47	6.12
	% me	3.13	1.32	0.91	1.83	0.70	0.50
S	% me	9.83	5.02	4.20	5.18	3.77	3.40
T	% me	45.05	14.82	11.08	20.31	17.25	16.92
V	%	22	34	38	26	22	20
Fe <sub>d</sub>	% mg	626	750	1200	1729	1391	981
Fe <sub>e</sub>	% mg	437	508	541	246	149	109
Fe <sub>e</sub> /Fe <sub>d</sub>	%	70	68	45	14	11	11
Fe <sub>i</sub> -Fe <sub>e</sub>	% mg	640	693	878	2356	1811	2454

Kil (Ton) A<sub>el</sub>/B<sub>ts</sub>=0,62Fe<sub>d</sub> A<sub>el</sub>/B<sub>ts</sub>=0,43

Tablo 7 - a

Toprak No. T.P. 93

İnceleme tarihi : 28.7.1971

Yer : Çamlıkoya (Saraydan) inen yol ile

Sultanbahçe dere arasında

Yeryüzü şekli : Üst yamaç

Yükselti : 155 m. Baki : Kuzeybatı Eğim : % 10

Meşcere ve kapaklılığı : Koru, 10

Hakim ağaç : *Pinus nigra* Rehd. 5Karışan ağaç : *Quercus dschorechensis* K. Koch +Çalılar : *Erica arborea* L. 2: (*Erica arborea* açıklıklarda) 3: *Erica verticillata* Forsk 2: (*Erica verticillata* açıklıklarda) 3: *Arbutus unedo* L. 2: *Cistus* sp. 1

Anataş : Kuvars - serisit şist

Toprak tipi : Podsolumsu Boz - Esmer Orman Toprağı (podsolige Fahlerde)

Düş toprak hali : Ölü örtü ile kapi

Yaprak tabakası (L) : 3 cm. Kazı derinliği : 130 cm.

Çürüntü tabakası (F) : — Fizyolojik derinlik : 130 cm.

Humus tabakası (H) : 0,5 cm. Drenaj : Serbest

Toprak horizonları :

0 — 5 A<sub>1</sub> : Kuru halde humus etkisi ile koyu esmer (10 YR 4/1) renktedir. Kumlu balçık tekstüründe, taneli ve kirintılı strüktüre sahip, gevşek, % 5 taşlı, inceleme anında kuru, geçirgen, lekelenme yok, CaCO<sub>3</sub> yok, kökler sık derecede.

5 — 17 A<sub>2</sub> : Kuru halde boz (10 YR 7/2) renktedir. Kumlu balçık tekstüründe, taneli strüktüre sahip, gevşek, % 7 taşlı, inceleme anında kuru, geçirgen, lekelenme yok, CaCO<sub>3</sub> yok, kökler sık derecede.

17 — 24 A - B : Kuru halde çok solgun kahve (10 YR 7/4) renktedir. Kumlu killi balçık tekstüründe, taneli ve ince - orta çapta yarı köşeli topaklı strüktüre sahip, gevşek, % 24 taşlı, inceleme anında taze, geçirgen, lekelenme yok, CaCO<sub>3</sub> yok, kökler sık derecede.

24 — 44 B : Kuru halde sarımsı kırmızı (5 YR 5/8) renktedir. Kil tekstüründe, orta çapta yarı köşeli topaklı strüktüre sahip, topakların, yüzeyinde koyu kırmızı renkli kil kaymakları var, sıkı, % 3 taşlı, inceleme anında taze, geçirgen, renk lekesi yok, CaCO<sub>3</sub> yok, kökler sık derecede.

44 — 70 B - C : Kuru halde kırmızımsı sarı (7,5 YR 6/6) renktedir. Balçıklı killi tekstüründe, orta çapta yarı köşeli topaklı strüktüre sahip, gevrek, % 5 taşlı, inceleme anında taze, geçirgen, renk lekesi yok, CaCO<sub>3</sub> yok, kökler orta derecede.

70 — C : Kuru halde çok solgun kahve (beyazımsı) (10 YR 8/3) renktedir. Balçıklı kil tekstüründe, taneli ve ufalanınan anataşın şisti yapısına uygun yaprağımsı görünüşte bir strüktüre sahip, gevrek % 6 taşlı, geçirgen, renk lekesi yok, CaCO<sub>3</sub> yok, kökler orta derecede.

NOT : Kök sıklığı Karaçam kök sisteminde incelenmiştir.

Toprak No. T.P. 93

Tablo 7 - b

## Horizonlar

	Ah 0 - 5	Ael 5 - 17	A - B 17 - 21	Bts 24 - 44	B - C 44 - 70	Cv 70 -
Derinlik (Tiefe) cm						
Renk (Farbe)	10 YR 4/1	10 YR 7 2	10 YR 7/4	5 YR 5/8	7.5 YR 6/6	10 YR 8/3
İnce toprak (Feinerde)	735	1172	1210	1323	1185	1187
Taş ve çakıl (Skelet)	40	85	170	40	60	80
Taşlılık (Skeletanteil)	%	5	7	21	3	5
Kil (Ton)	gr/lt	51	82	189	741	415
Kum (Sand)	% gr	83	83	73	20	36
Toz (Schluff)	% gr	10	10	16	24	29
Kil (Ton)	% gr	7	7	17	56	35
Toprak türü (Bodenart)	KuB(sL)	KuE(sL)	KuKE (stL)	K(T)	BK(1T)	BK(1T)
pH	H <sub>2</sub> O	4.5	4.4	4.6	4.5	4.6
	KCl	3.5	3.9	3.8	4.0	4.0
CaCO <sub>3</sub>	% gr	—	—	—	—	—
Total maddeler %						
Ct	% gr	4.65	0.40	0.53	0.60	0.20
Organik mad.	% gr	8.00	0.70	0.90	1.00	0.34
Nt	% mg	261.00	32.60	25.20	24.16	14.10
Pt	% mg	9.72	10.67	9.48	17.26	28.57
Kt	% gr	0.801	0.869	0.817	1.442	1.490
Nat	% gr	0.145	0.126	0.161	0.478	0.620
Cat	% gr	0.202	0.060	0.071	0.067	0.061
Mgt	% gr	0.135	0.131	0.089	0.128	0.120
Fet	% gr	0.877	0.890	1.154	2.479	1.956
C/N		18	12	21	25	14
Mübadele edilebilir katyonlar ve diğer maddeler %						
K+	% mg	31.02	21.64	20.68	22.35	20.34
	% me	0.80	0.55	0.52	0.58	0.52
Na+	% mg	15.51	8.56	9.08	12.85	10.17
	% me	0.67	0.37	0.39	0.55	0.44
Ca++	% mg	108.58	45.29	41.10	48.83	42.70
	% me	5.42	2.26	2.05	2.44	2.13
Mg++	% mg	27.66	4.01	6.30	16.14	7.12
	% me	2.28	0.40	0.51	1.36	0.59
S	% me	9.17	3.58	3.47	4.93	3.68
T	% me	77.26	10.19	7.72	15.05	10.33
V	% mg	12	35	45	33	36
Fe <sub>d</sub>	% mg	214	257	492	989	591
Fe <sub>e</sub>	%	190	118	178	342	122
Fe <sub>e</sub> /Fe <sub>d</sub>	% mg	89	46	36	35	21
Fe <sub>e</sub> -Fe <sub>d</sub>	%	663	633	662	1490	1368
Kil (Ton) A <sub>e</sub> /B <sub>n</sub> =0,13						
Fe <sub>d</sub> A <sub>e</sub> /B <sub>n</sub> =0,26						

Tablo 8-a

Toprak No. T.P. 58

İnceleme tarihi : 27.8.1970

Yer : Kadınkule - Sergen yolunda  
kuvarsit ocağı yukarısında

Yeryüzü şekli : Orta yamaç

Yükselti : 655 m. Bakır : Batı Eğim : % 20

Meşcere ve kapalılığı : Koru. 8

Hakim ağaç : *Quercus dschorochensis* K. Koch 4

Karişan ağaç : *Fagus orientalis* Lipsky 1

: *Sorbus torminalis* L. +

Çalılar : *Rhododendron ponticum* L. Girift

Anataş : Kuvarsit (Kuvars - serisit şist)

Toprak tipi : Podsol - Esmer Orman Toprağı (Podsol - Braunerde)

Diş toprak hali : Ölü örtü ile kaph

Yaprak tabakası (L) : 1 cm. Kazı derinliği : 140 cm.

Çürüntü tabakası (F) : 1 cm. Fizyolojik derinlik : 85 cm.

Humus tabakası (H) : 2 cm. Drenaj : Serbest

Humus tipi : Çürüntülü Mull

Toprak horizonları :

- 0 — 12 A<sub>1</sub> : Kuru halde ve humus etkisi ile siyah (10 YR 2/1) renktedir. Kumlu killi balçık tekstüründe, granüler strüktüre sahip, gevsek, % 16 taşlı, inceleme anında taze, aşırı geçirgen, lekelenme yok, CaCO<sub>3</sub> yok, kökler keçeleşmiş durumda.
- 12 — 33 A<sub>2</sub> : Kuru halde boz (10 YR 7/2) renktedir. Kumlu balçık tekstüründe, taneli strüktüre sahip, gevrek % 22 taşlı, inceleme anında kuru, aşırı geçirgen, lekelenme yok, CaCO<sub>3</sub> yok, kökler sık derecede.
- 33 — 47 A - B : Kuru halde sarımsı - açık kahve (10 YR 6/2) renktedir. Kumlu killi balçık tekstüründe, taneli ve az miktarda orta çapta yarı köşeli topaklı strüktüre sahip, gevrek, % 10 taşlı, inceleme anında kuru, geçirgen, lekelenme yok, CaCO<sub>3</sub> yok, kökler sık derecede.
- 47 — 81 B : Kuru halde sarımsı kırmızı (5 YR 5/8) renktedir. Kumlu balçık tekstüründe, taneli ve az miktarda yarı köşeli topaklı strüktüre sahip, gevrek, % 25 taşlı, inceleme anında kuru, aşırı geçirgen, lekelenme yok, CaCO<sub>3</sub> yok, kökler orta derecede.
- 81 — 120 B - C : Kuru halde kırmızımsı sarı (5 YR 6/8) renktedir. Balçıklı kum tekstüründe, taneli strüktüre sahip, sıkışmış, % 21 taşlı, inceleme anında kuru, aşırı geçirgen, lekelenme yok, CaCO<sub>3</sub> yok, kökler seyrek derecede.
- 120 — 140 C : Kuru halde beyaza yakın boz (10 YR 8/3) renktedir. Kumlu balçık tekstüründe, taneli strüktüre sahip, çok sıkışık, % 16 taşlı, inceleme anında tazece, geçirgen, lekelenme yok, CaCO<sub>3</sub> yok, köklere rastlanmadı.

Tablo 8 - b

Toprak No. T.P. 58

Horizonlar

	Ah	Ael	A - B	Bts	B - C	Cv
Derinlik (Tiefe) cm	0 - 12	12 - 33	33 - 47	47 - 81	81 - 120	120 - 140
Renk (Farbe)	10 YR 2/1	10 YR 7/2	10 YR 6/4	5 YR 5/8	5 YR 6/8	10 YR 8/3
İnce toprak (Feinerde)	854	1021	1130	1298	1212	1413
Taş ve çakıl (Skelet)	gr/lt	140	220	115	320	260
Taşlılık (Skeletanteil)	gr/lt	16	22	10	25	21
Kil (Ton)	%	137	194	181	117	121
Kum (Sand)	% gr	75	74	75	82	86
Toz (Schluff)	% gr	9	7	9	9	4
Kil (Ton)	% gr	16	19	16	9	10
Toprak türü (Bodenart)	KuKB (stL)	KuKB (stL)	KuKB (stL)	KuB(sL)	BKu(lS)	BKu(lS)
pH	H <sub>2</sub> O	4.0	4.7	4.8	4.9	4.7
	KCl	3.5	3.8	4.3	4.4	4.3
CaCO <sub>3</sub>	% gr	—	—	—	—	—
		Total maddeler %				
Ct	% gr	11.80	1.15	0.85	0.20	0.13
Organik mad.	% gr	55.70	5.43	4.01	0.94	0.61
Nt	% mg	291.50	42.60	34.05	9.90	10.06
Pt	% mg	24.5	7.9	6.1	7.9	12.2
Kt	% gr	2.445	3.006	3.076	2.991	3.317
Nat	% gr	0.394	0.373	0.383	0.200	0.191
Cat	% gr	0.264	0.050	0.050	0.050	0.045
Mgt	% gr	0.110	0.120	0.120	0.145	0.126
Fet	% gr	0.620	0.828	0.831	1.102	0.754
C/N		40	27	25	20	13
		Mübadele edilebilir katyonlar ve diğer maddeler %				
K <sup>+</sup>	% mg	37.55	20.43	20.68	22.03	20.64
	% me	0.96	0.52	0.52	0.56	0.52
Na <sup>+</sup>	% mg	9.58	5.80	6.29	6.51	6.51
	% me	0.41	0.25	0.27	0.28	0.35
Ca <sup>++</sup>	% mg	51.80	38.83	38.58	38.80	39.26
	% me	2.59	1.95	1.93	1.94	1.96
Mg <sup>++</sup>	% mg	8.81	0.76	0.76	1.25	0.89
	% me	0.73	0.06	0.06	0.11	0.07
S	% me	4.69	2.78	2.78	2.89	2.83
T	% me	73.34	6.61	6.27	6.12	4.40
V	%	6.4	42	44	47	61
Fe <sub>d</sub>	% mg	255	239	474	479	307
Fe <sub>e</sub>	% mg	213	200	439	167	91
Fe <sub>e</sub> /Fe <sub>d</sub>	%	84	84	93	35	30
Fe <sub>e</sub> -Fe <sub>d</sub>	% mg	365	589	357	623	447
Fe <sub>d</sub> A <sub>e</sub> /B <sub>e</sub>	= 0,50					

# EINE ANALYTISCHE STUDIE ÜBER DIE AUSWASCHUNG- UND ANREICHERUNGSHORIZONTEN MANCHER AUS SILICATISCHEN AUSGANGSGESTEINEN UNTER DEN GEMÄSSIGTEN KLIMAVERHÄLTNISSEN ENSTANDENEN BÖDEN IM NORD - OST THRAKIEN - TÜRKEI \*

Doç. Dr. M. Doğan Kantarci<sup>1)</sup>

## A b s t r a k t :

Mit der vorliegenden Arbeit ist die genetische Entwicklungsstadien der aus fein kristallinen Schiefern entstandenen Böden im Nord - Trakisichen Gebirgslandschaft untersucht. Um die analytische und morphologische Merkmale der Bodentypen zu geben, sind die typischen 7 Pedon ausgewählt. Besonders sind die Laboranalysen auf den Tongehalt und Fe - fraktionen und auf ihre Gehalte in den Auswaschungs - und Anreicherungshorizonten konzentriert. Neben bei sind die pH - werte, Ca<sub>+</sub>, Ca<sup>++</sup>, Mg<sub>+</sub>, Mg<sup>++</sup> und T - wert u.a. der Böden untersucht. Die Ergebnisse der Untersuchungen sind herausgebracht, dass der Bodentyp Fahlerde auch aus den kalkfreien silicatischen Gesteinen im Entwicklungsreihe von Ranker → Braunerde → Parabraunerde im Untersuchungsgebiet entwickeln kann. In Mittel Europa wurde eine Fahlerde aus Pararendzina entwickeln, aber Nord Trakisichen Gebirgslandschaft liegt in noch südlicher Breite und Klima ist noch milder als Mittel und Nord - Europa.

In der Bodensystematik finden wir verschiedene Bodentypen, die voneinander abweichende Eigenschaften vorzeigen (KANTARCI, M. D. 1972). Die regional wirkenden Effekte der bodenbildenden Faktoren verursachen die Unterschiede zwischen den Bodentypen. Nach den bodenbildenden Faktoren und Bodentypen kann die Untersuchungsmethode der Böden auch manche Unterschiede oder Differenzen haben. In dieser Arbeit sind manche typische Böden der Wuchsgebiet von Nord - Thrakisichen Gebirgslandschaft in einer Methodensystem untersucht.

In dieser Methodensystem sind verschiedene Methoden zusammengefasst.

- Die Böden sind im Gelände nach ihrer Morphogenetischen Merkmale differenziert, und die typische Bodenprofile ausgewählt. Die Proben sind mit den Volumzylinder aus jeden Bodenhorizont literweise entnommen.

---

<sup>1)</sup> İstanbul Üniversitesi Orman Fakültesi Toprak İlimi ve Ekoloji Kürsüsü Doçenti Büyükdere - İstanbul.

\* ) Die Bodenanalysen sind im Jahre 1973 - 74 im Institut für Bodenkunde der Forstlichen Fakultät der Universität München im Rahmen einer Forschungsprogramm durchgeführt. Herrn Prof. Dr. K. E. Rehfuss danke ich für die Möglichkeiten, die er mir um in seinem Institut zu arbeiten gegeben hatte. Auch an die Alexander von Humboldt - Stiftung danke ich für die finanziellen Unterstützung meiner Forschungsprogramm in Deutschland.

— Im Labor sind die Korngrösse nach Bouyyocu Methode, pH mit Glasselektrode, C-org. konduktometrisch mit dem Wösthof Carmhomat - Apparat, N mit dem  $\text{H}_2\text{SO}_4$ , Aufschluss nach Kjeldhal, Fe<sub>e</sub> und anderen Kationen mit der Bauschanalyse, Fe<sub>d</sub> mit der dithioniteitrat Extraktion bei pH 7.3, Fe<sub>o</sub> mit der oxalsäurem NH<sub>4</sub>-oxalat Extraktion bei pH 3.25 bestimmt. Die Austauschkapazität und die austauschbaren Kationen sind nach Mechlich Perkolationsverfahren flammenphotometrisch bestimmt.

Die ausgewählte Böden sind im Wuchsgebiet Nord - Thrakischen Gebirgslandschaft aus den kalkfreien fein kristallinen Schiefern entstanden. Besonders zu Schwarz Meer geneigten Abfall des Wuchsgebietes herrschen gemässigten humiden Klimaverhältnisse. Die Böden sind aus diesem Teil des Gebietes ausgewählt. Von den Böden sind T.P. - 121 und - 122 Braunerde, T.P. - 61 und - 120 Parabraunerde, T.P. - 9 und - 93 Fahlerde, T.P. - 58 Podsol - Braunerde<sup>2)</sup>.

Die Braunerde sind aus Chlorit - Schiefer unter dem Eichen - Buchenbestand entstanden. Die Parabraunerde sind auch aus Chlorit - Schiefer unter dem Eichen - Buchenbestand entstanden. Von den Fahlerden einer (T.P. - 9) aus dem Sericit - Schiefer unter dem Eichenbestand entstanden. Zweite (T.P. - 93) ist aus Quarz - Sericit Schiefer unter dem natürlichen Schwarz Kiefernbestand entstanden. Die Podsol - Braunerde ist aus Quarz - Sericit Schiefer unter dem Eichen - Buchen - Rhododendron ponticum - gesellschaft entstanden.

Die Feinerdegegewichte und Skeletgehalt im Litervolum variieren nach der Entwicklungsstadien der Böden. In den A<sub>h</sub> - und B<sub>e</sub> - horizonten der Braunerden sind die Feinerdegegewichte zwischen 427 - 680 gr/lt, und Skeletgehalte sind 27 - 68 %. Bei den Parabraunerden sind die Feinerdegegewichte höher als Braunerden (bis 809 gr/lt im B<sub>ts</sub> - horizont). Aber Skeletgehalte der Parabraunerde sind gleich wie Braunerde. Bei den Fahlerden sind die Feinerdegegewichte über 1 kg/lt, und die Skeletgehalt sehr niedrig gefunden. Die Feinerdegegewichte zeigen die Differenzen zwischen den Auswaschungs - und Anreicherungshorizonten. Diese Unterschiede werden von Parabraunerden zu Fahlerden deutlicher (Abb. 1 - a).

Der Tonanteil der Böden variieren von Horizont zu Horizont je nach Entwicklungsstadien. Die Tonhäutchen sind auf den Oberflächen der Strukturelementen des B<sub>ts</sub> - horizontes deutlich zu erkennen. Diese Tonhäutchen sind nicht im B<sub>e</sub> - horizont der Braunerden (T.P. - 121, und 122), und B<sub>e</sub> - horizont der Podsol - Braunerde (T.P. - 58) zu sehen. Die Tonquotiente sind zwischen den Auswaschungs - und Anreicherungshorizonten der Parabraunerden bei T.P. - 120 79 %, bei T.P. - 61 68 %, obwohl Bodenart von Horizont zu Horizont nicht variiert. Die Bodenarten und die Tonquotienten der Fahlerden sind zwischen den Auswaschungs - und Anreicherungshorizonten sehr deutlich. Die Tonquotiente sind bei T.P. - 9 62 %, und bei T.P. - 93 13 %. Bei der Podsol - Braunerde ist keine Tonverlagerung und Auflagerung gefunden (Tabelle 2 - 8 und Abb. 1 - b). Es gibt eine Zusammenhang zwischen der pH - werte im 0.1 N KCl - lösung und der Tonverlagerung in den untersuchtenböden. Bei Parabraunerden sind die pH - werte im A<sub>h</sub> - und A<sub>e1</sub> - horizonten zwischen 4.2 - 5.0. Diese pH - werte bleiben in den optimalen Grenzen der Tonverlagerung (MÜCKENHAUSEN, E. 1966; SCHRÖDER, D. 1969; SCHEFFER - SCHACHTSCHABEL 1970). Bei Fahlerden sind die pH - werte im Auswaschungshorizont bei T.P. - 9 4.4 und bei T.P. - 93 (unter

<sup>2)</sup> T.P. ist eine spezielle Symbol der Bodenprofile aus Thrakien.

Schwarz Kiefern - Bestand) 3.9 gemessen. Bei T.P. - 9 kann unter diesen pH - verhältnissen die Zerstörung der Tonmineralien bei der Tonverlagerung zusammenlaufen. Bei Podsol - Braunerde unter der Eichen - Buchen - Rhododendrongesellschaft ist die pH - werte im  $A_h$  - horizont 3.5 und im  $A_e$  - horizont 3.8 gemessen (Abb. 1 - c und Tabelle 2 bis 8).

Organische Kohlenstoffgehalte sind in den  $A_h$  - horizonten höher als den anderen Horizonten der Böden. In den Anreicherungshorizonten ist kein  $C_{org}$  Akkumulation gefunden. C/N - verhältnisse sind in den  $A_h$  - horizonten der Böden ausser T.P. - 58 nicht zu hoch. Bei T.P. - 58 ist die C/N - quotient im  $A_h$  - horizont 40. Unter der dichten Bedeckung des Bestandes und Moder - Schicht ist diese hohe C/N - quotient in der saueren Verhältnissen des Bodens zu erwarten (Tabelle 8).

Die nicht pedogenen Eisengehalte ( $Fe_t - Fe_d$ ) variieren sich in den Verwitterungshorizonten nach den chemischen Zuzammensetzung der Ausgangsgesteine von Böden. Die Böden der Chlorit - Schiefer zeigen höchste nicht pedogene Eisengehalte im Verwitterungshorizont. Dagegen zeigen die Böden der Quarz - Sericit Schiefer niedrigere Eisengehalte in den Verwitterungshorizonten (Tabelle 2 - 8). Die pedogenen Eisengehalte sind in aus den Chlorit - Schiefern entstandenen Böden mehr als in aus den Quarz - Sericit Schiefern entstandenen Böden. Diese Zusammenhang zwischen den  $Fe_t - Fe_d$  und  $Fe_d$  fraktionen mit den Ausgangsgesteinen gibt ein Eindruck, dass der Ausgangsgestein einen bedeutungsvollen Effekt über die Böden hat (Tabelle 2 - 8 und Abb. 2 - d).

Die  $Fe_d$  - gehalte nehmen von Auswaschungshorizont zu Anreicherungshorizont deutlich zu. Die  $Fe_d$  - quotiente zwischen den  $A_{st}$  - und  $B_{st}$  - horizonten sind in den Parabraunerden 72 % und 87 %, in den Fahlerden 26 % und 43 %, in der Podsol - Braunerde 50 % errechnet. Diese Quotiente erklären einerseits die Farbunterschiede zwischen den Bodenhorizonten analytisch. Andererseits zeigen diese Quotienten der Auswaschung und Entwicklungsstadien der Böden (Tabelle 2 - 8 und Abb. 2 - a).

Aktive Eisengehalte der Braunerden sind höher als den anderen untersuchten Bodentypen. Die Aktive Eisengehalte der Parabraunerde liegen zwischen den Braunerden und den Fahlerden (Abb. 2 - b). Diese Ergebnisse erklären die Farbunterschiede der Bodentypen den dunkel braunen  $B_e$  - horizont der Braunerden und den rötlich braunen  $B_{st}$  - horizont der Fahlerden (Tabelle 2 - 8 und Abb. 2 - b).

Die Quotienten zwischen den aktiven und pedogenen Eisen der Böden sind auch interessant. Die  $Fe_a/Fe_d$  Quotienten in den Horizonten der Braunerden sind über 60 % gefunden. Das ist eine übliche hohe Aktivität der Braunerden<sup>3)</sup>. Die Parabraunerde zeigen einen Aktivitätsgrad zwischen den 20 - 60 %. Aber in den  $A_h$  - horizonten der Fahlerden sind die Aktivität wieder höher (über 60 %).  $Fe_a/Fe_d$  Quotienten der Podsol - Braunerde sind hoch wie es bei Braunerde gefunden ist (Tabelle 2 - 8 und Abb. 2 - c).

Die bisher besprochenen Gelände - und Laborbefunde der untersuchten Böden zeigen uns zwei anderen genetischen Entwicklungsreihe. In einer Reihe entwickeln die Böden neben der Tonverlagerung und - auflagerung auch mit der Auswaschung und Anreicherung des Eisen unter den optimalen pH - verhältnissen. In zweiter Reihe ent-

<sup>3)</sup> Vergl. U. Schwertmann 1964.  
H. P. Blume - U. Schwertmann 1969.

wickeln die Böden unter stark saueren Verhältnissen durch die Zersetzung der Tonmineralien und Auswaschung des Eisens.

Unter den Mittel - Europäischen Verhältnissen wurden die Parabraunerde und Fahlerde aus Pararendzina und basenreicher Braunerde entwickeln. Aber die Podsol - Braunerde wurde aus Ranker und basenarmer Braunerde entwickeln (MÜCKENHAUSEN 1966). Im Wuchsgebiet Nord - Thrakischen Gebirgslandschaft sind die Parabraunerde und Fahlerde aus den kalkfreien fein kristallinen Schiefern also aus den Ranker und Braunerde entwickelt. Eine Tonverlagerung ist in den untersuchten Parabraunerde und Fahlerde mit den Gelände - und Laboruntersuchungen erfasst. Unter den gemässigten humiden Klimaverhältnissen und Laubwaldgesellschaften ist die Tonverlagerung zu erwarten. In dieser Verlagerungsprozess der Tonfraktion hat der ziemlich hohe Gehalt der Kationen so wie Eisengehalt des Ausgangsgestein ein bedeutender Rolle. Wenn zwei wertigen Kationen - und Eisengehalt des Ausgangsgesteins weniger ist, entwickelt die podsolige Fahlerde wie T.P. - 93 unter dem Schwarz Kiefern - Bestand, oder Podsol - Braunerde wie T.P. - 58 unter dem Eichen - Buchen - Rhododendron ponticum Gesellschaft (Tabelle 2 - 8 und Abb. 2 - d, 3 - a, b, c, d, e). Die untersuchten Böden kann man in die zwei genetischer Entwicklungsreihe wie unten stellen :

- 1) Ranker → Braunerde → Parabraunerde → Fahlerde → pod. Fahlerde → →  
T.P. - 121-122      T.P. - 61-120      T.P. - 9      T.P. - 93
- 2) Ranker → Braunerde → → Podsol - Braunerde → →  
T.P. - 58

Der Boden mit dem Nummer T.P. - 58 ist nicht als Podsol genannt, weil neben den Klimaverhältnisse und Pflanzengesellschaft auch die Basensättigung hoch ist (Tabelle 8, Abb. 3 - e).

Die oben genannten Entwicklungsreihe der Bodentypen werden unter den Effekt unserken Klimaverhältnissen und anderen bodenbildenden Faktoren auch über die anderen Ausgangsgesteinen entstandenen Böden weiter untersuchen.

## KAYNAKLAR

*BLUME, H. P. , SCHWERTMANN, U. 1969. Genetic evaluation of profile Distribution of Aluminium, Iron and Manganese Oxides. Soil Science soc. America. proc. 33. sh. 488.*

*GÜLÇÜR, F. 1958. Rize mintikasında hümid şartlar altında gelişmiş bazı bakır toprakların kil fraksiyonlarında kimyasal ve mineralojik özellikler üzerinde araştırmalar. I.U. Orman Fakültesi Dergisi, Seri A, sayı 2, cilt VIII.*

*GÜLÇÜR, F. 1964 - a. Mersin mintikasında (Akdeniz Bölgesi) mevcut bazı Terra-recta topraklarının fizik ve şimik özellikleri ile bu toprakların kil fraksiyonlarının mineralojisi üzerine araştırmalar. I.U. Orman Fakültesi Dergisi, Seri A. Cilt XIV. Sayı 1.*

- GÜLÇÜR, F. 1964 - b. *Bazı Terrarosa topraklarının toz fraksiyonlarının mineralojik tabiatı ve kimyasal التركibi üzerine araştırmalar.* İ.Ü. Orman Fakültesi Dergisi, Seri A, Cilt XIV, Sayı 1.
- GÜLÇÜR, F. 1974. *Toprakın fiziksel ve kimyasal analiz metodları.* İ.Ü. Yay. No. 1970, Orman Fakültesi Yay. no. 201, İstanbul.
- IRMAK, A. 1954. *Arazide ve laboratuvarda toprağın araştırılması metodları.* İ.Ü. Yay. No. 599, Orman Fakültesi Yay. No. 27, İstanbul.
- IRMAK, A. 1972. (birinci baskı 1968) *Toprak İimi.* İ.Ü. Yay. No. 1268, Orman Fakültesi Yay. No. 121, İstanbul.
- KANTARCI, M. D. 1972. *Toprakların genetik ve ekolojik yönlerden sınıflandırılması.* İ.Ü. Orman Fakültesi Dergisi, Seri A, Cilt XXII, Sayı 2.
- MUCKENHAUSEN, E. 1962. *Entstehung, Eigenschaften und Systematik der Böden der Bundesrepublik Deutschland.* DLG Verlag - Frankfurt (Main) - Fed. Almanya.
- MÜCKENHAUSEN, E. 1966. *Bodenarten und Bodensystematik. Handbuch der Pflanzenernährung und Düngung II/1* (Linser, H. 1966) Springer Verlag, Viyana - New York.
- SCHEFFER - SCHACHTSCHABEL, 1970. *Lehrbuch der Bodenkunde* (7. baskı) Ferdinand Enke Verlag, Stuttgart - Fed. Almanya.
- SCHLICHTING, E. - BLUME, H. P. 1962. *Art und Ausmass der Veränderungen des Bestandes mobiler Oxyde in Böden aus jungpleistozänen Geschiebemergel und ihren Horizonten.* Zeitsch. f. Pflanzenernährung und Düngung, Bodenkunde Band. 141, Heft 2, sh. 144. - Fed. Almanya.
- SCHLICHTING, E. - BLUME, H. P. 1966. *Bodenkundliches Praktikum* Verlag Paul Parey, Stuttgart - Fed. Almanya.
- SCHRODER, D. 1969. *Bodenkunde in Stichworten* Hirts Stichwortbücher, Verlag Ferdinand Hirt, Kiel - Fed. Almanya.
- SCHWERTMANN, U. 1959. *Die fraktionierten Extraktion der freien Eisenoxyde in Böden ihre mineralogischen Formel und ihre Entstehungsweisen.* Zeitsch. f. Pflanzenernährung und Düngung, Bodenkunde Band. 84, sh. 194 - Fed. Almanya.
- SCHWERTMANN, U. 1964. *Differenzierung der Eisenoxyde des Bodens durch Extraktion mit Ammoniumoxalat - Lösung.* Zeitsch. f. Pflanzenernährung und Düngung, Bodenkunde Band 105, sh. 194 - Fed. Almanya.
- SCHWERTMANN, U. 1965. *Zur Goethit und Hämatitbildung aus amorphem Eisen (III) hydroxyd.* Zeitsch. f. Pflanzenernährung und Düngung, Bodenkunde Band. 108, sh. 37 - Fed. Almanya.
- SCHWERTMANN, U. - LENZE, W. 1966. *Bodenfarbe und Eisenoxydfrom.* Zeitsch. f. Pflanzenernährung und Düngung, Bodenkunde Band. 115, sh. 209 - Fed. Almanya.